

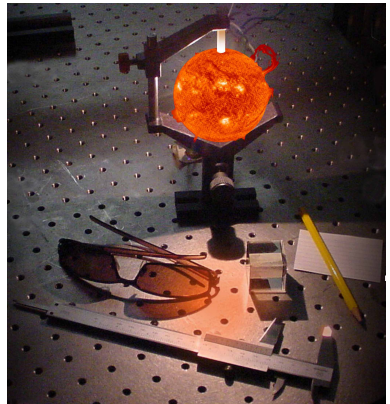
Focus exp. : Naines brunes et bandes moléculaires de FeH et CrH

Patrick Crozet

Institut Lumière Matière

UMR 5306 Campus Lyon-Tech La Doua, Bât. Kastler, 10 rue Ada Byron , Villeurbanne.

PLAN



- | | |
|---------------------------------|----------------------------|
| 1. Présentation | équipe et thématiques |
| 2. Problématique | étoiles froides et MH |
| 3. Etat de l'Art au labo | FeH et CrH. |
| 4. Projet en cours | spectromètre Vernier (CrH) |
| 5. Conclusion | perspectives |

1. Présentation / Equipe et thématique

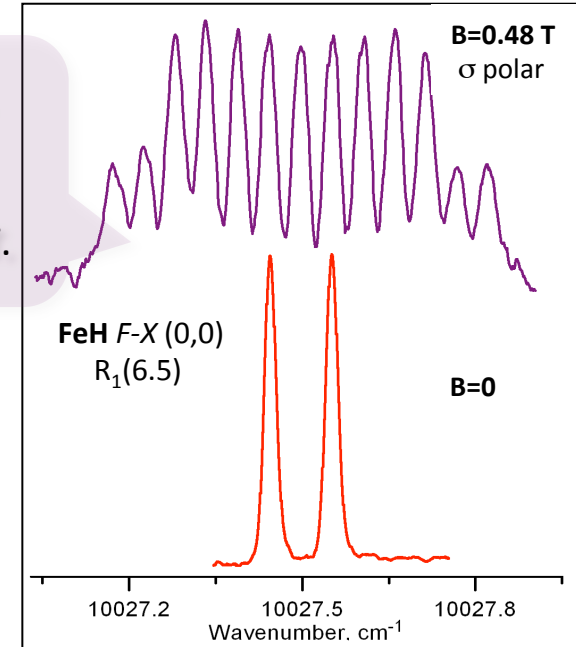
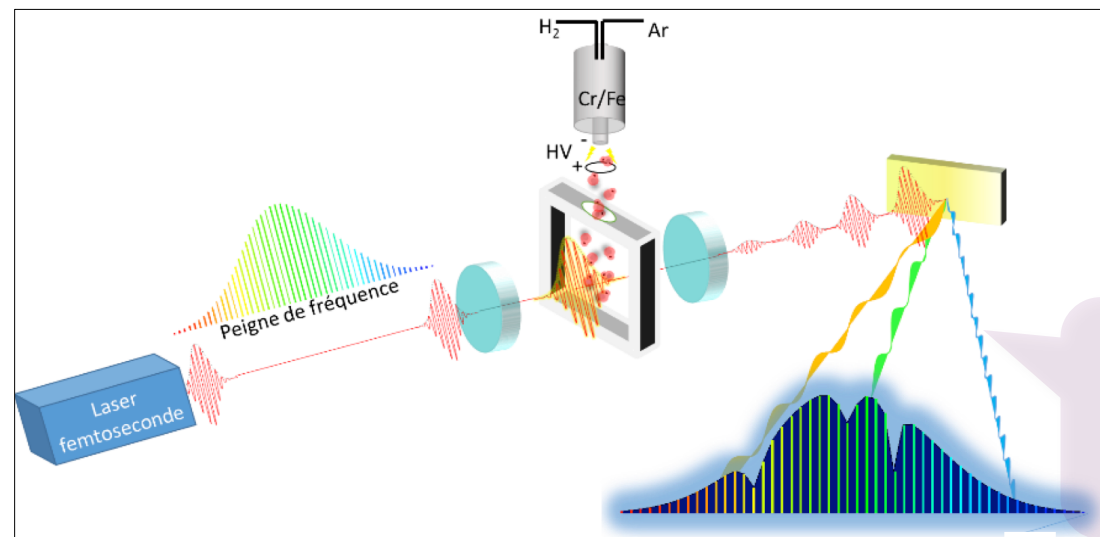
Spectrométrie Moléculaire, *Institut Lumière Matière*

Amanda ROSS , Heather HARKER , Jérôme MORVILLE , Patrick CROZET

Georgi DOBREV (doctorant), Cassandre MIRALLEI (M2 Lyon1), Ella WYLLIE (M2 U. Strathclyde/Lyon1).

Spectroscopie Laser de radicaux MH (M=Ni,Fe,Cr)

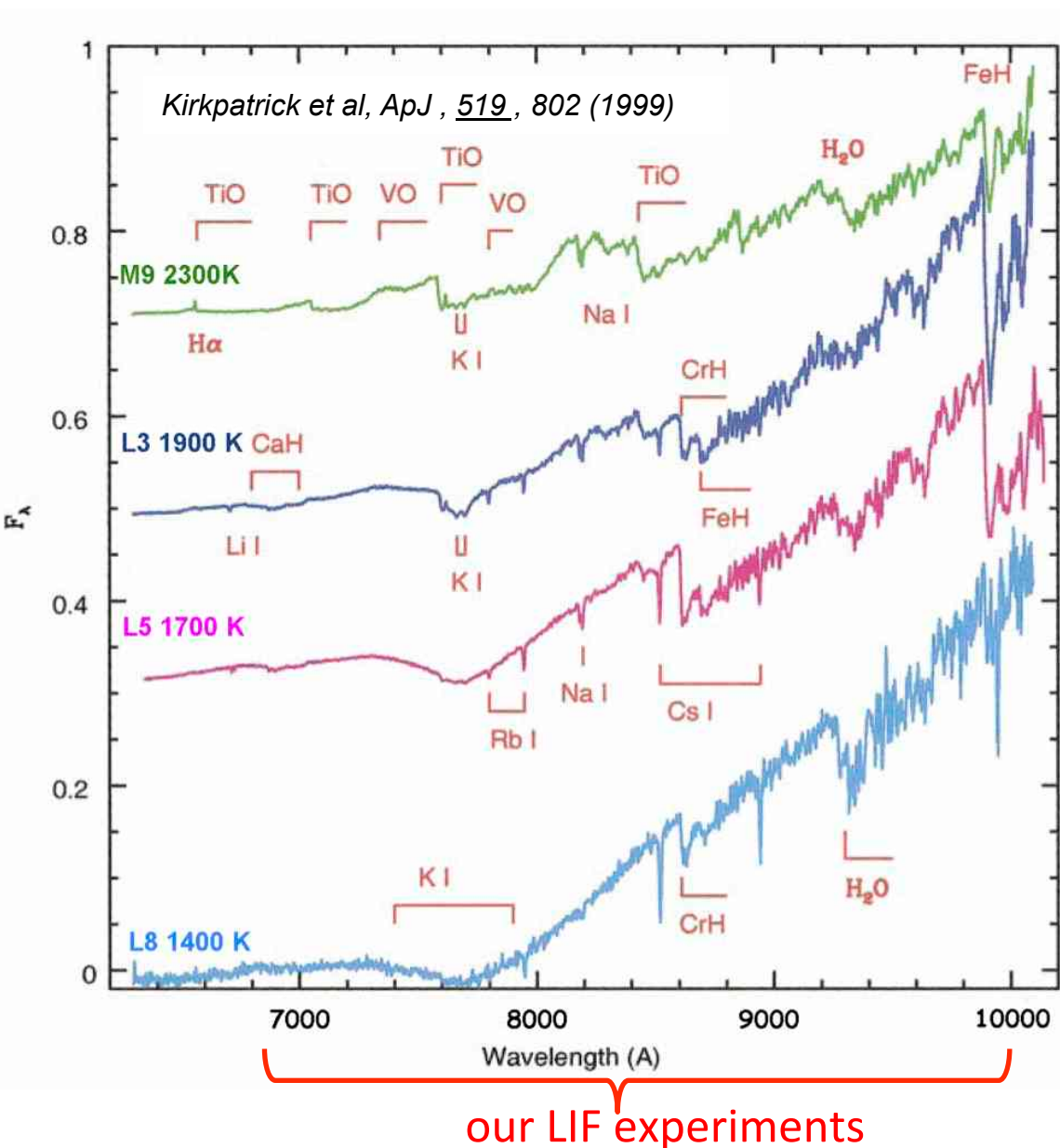
- Source à décharge ($T < 500\text{K}$) : FTS/LIF, CRDS
- Analyse de spectres champ nul et Zeeman : $B=0$, $B < 0.6 \text{ T}$.



Spectromètre Vernier

Couplage Vernier d'un peigne de fréquences aux résonances multiples d'une cavité optique.

2. Problématique / FeH & CrH in late-M and L dwarfs



Ldwarfs : $T_{\text{eff}} \approx 1400 - 2000$ K

Observed bands 640-1020 nm

High Res.(R=33k) Atlas L0 - -> T1
Reiners et al, A&A 473, 245–255 (2007).

FeH : $F-X$ 0-0 @ 989.6 nm Wing-Ford
 $F-X$ 1-0 @ 869.2 nm

CrH : $A-X$ 0-0 @ 861.1 nm
? 1-0 @ 764.0 nm, blend O₂
? 0-1 @ 996.9.0 nm, blend FeH

"the 1-0 (764 nm) and 0-0 (861 nm) bands of the A $^6\Sigma^+$ - X $^6\Sigma^+$ transition of CrH are primary markers for L-type brown dwarfs"
Bauschlicher, J. Chem. Phys., 115(3), 1312 (2001).

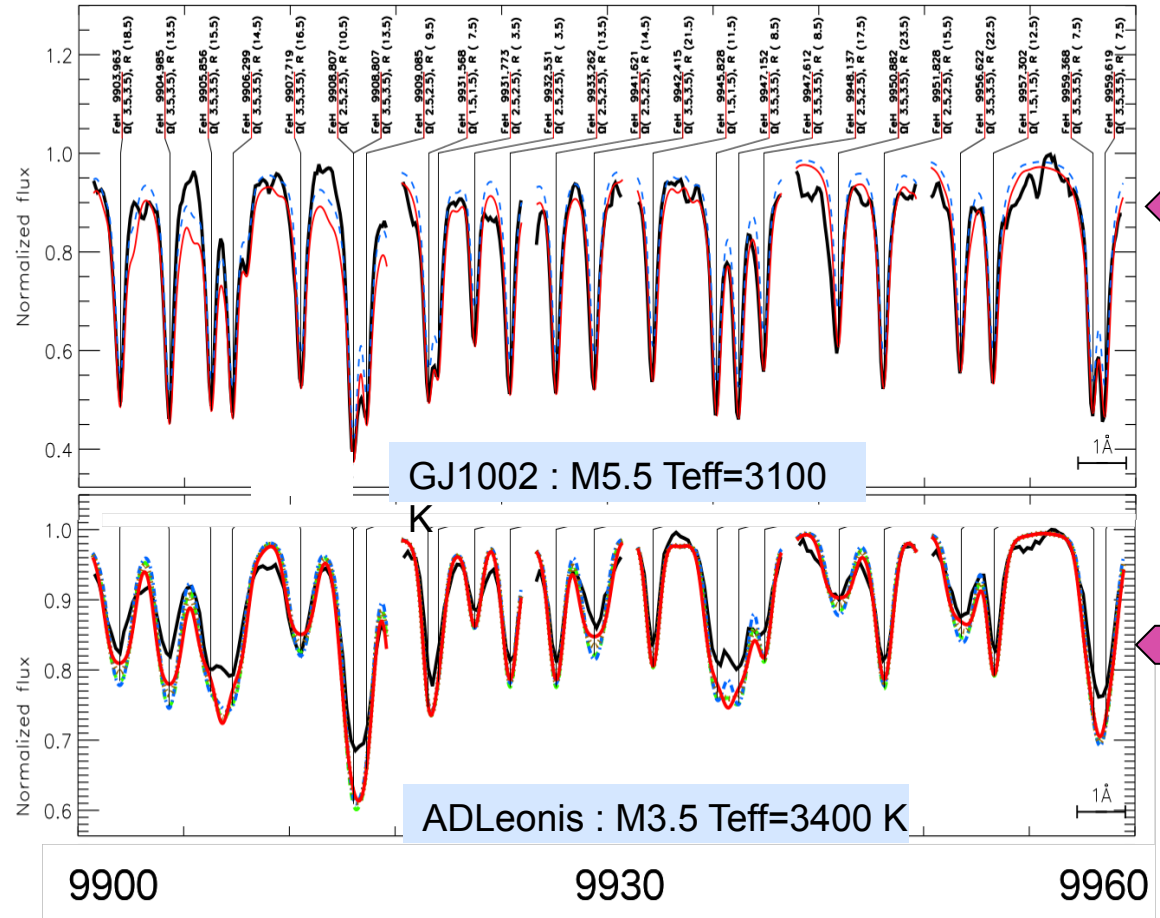
J- band : Spirou ?

FeH $F-X$ 0-1, 1-2 $\approx 1.2 \mu\text{m}$

FeH $E-A \approx 1.6 \mu\text{m}$

Low Res (R=2000) Atlas 0.8-5.0 μm
J.T. Rayner et al, ApJS, 185:289 (2009)

2. Problématique / High Res. FeH in red dwarfs



Strong features near 1 micron in a non-magnetic star are assigned to FeH, based on the FeH atlas

Dulick *et al*, ApJ, 594 651 (2003)

Zeeman-broadened profiles on AD Leonis interpreted via Landé factors from telescope spectra.

Shulyak *et al*, Proceedings Astr.Soc. Pacific. Conf.448 1263S (2011)

Difficult to find a unique solution :
B (uniform?) 2.5 - 3 kG
Shulyak *et al*, A&A 563, A35 (2014)

g, Landé Factors : what uncertainty?

3. Etat de l'Art au labo / FeH ($S=3/2$)

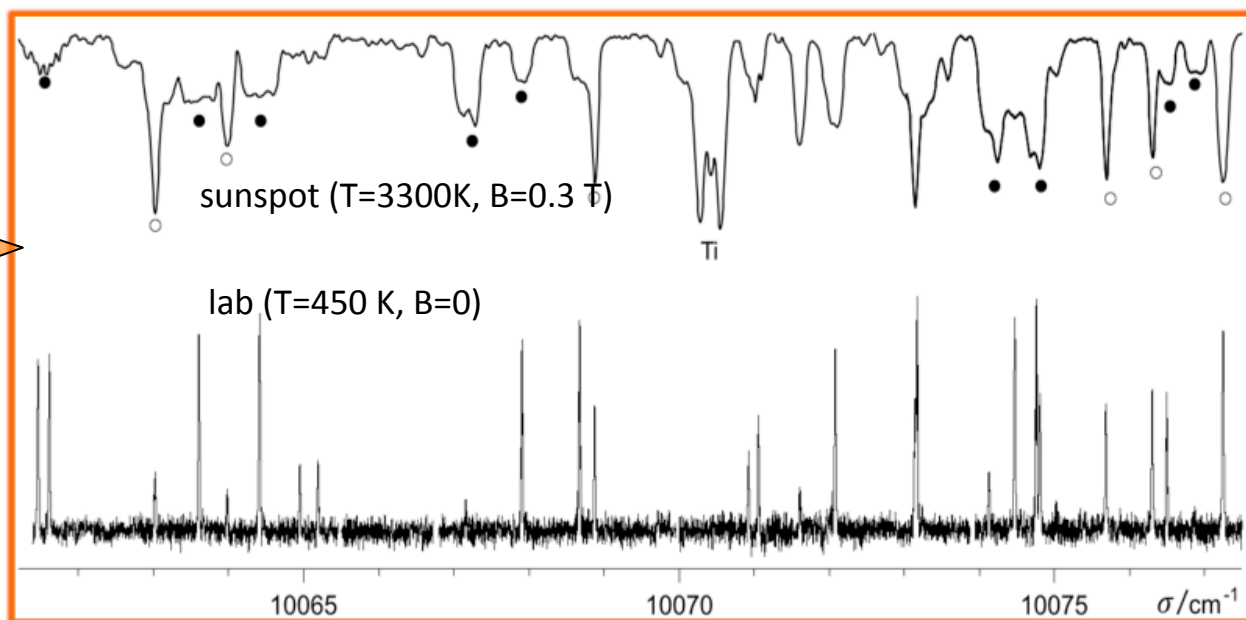
Zero field data

- FTS/King furnace : $J < 32$, v' and $v'' = 0, 1, 2$: J.G. Phillips et al, ApJS, 65 (1975)721.
- Bernath's Atlas : line list of experimental and extrapolated to high J transitions from ab-initio calculations.
M. Dulick et al, ApJ, 594:651(2003) ; <http://bernath.uwaterloo.ca/FeH>

Magnetic response

- LMR / discharge : ground state $X^4\Delta$, $v''=0$, $J'' < 8$: Brown et al, JCP, 124, 234309(2006)
- LIF / molecular beam $F-X$, $J''=3.5$ $v'=1-0$: Harrison et al. ApJ, 679, 854 (2008)
- LIF / discharge $F-X$, $J'' < 10$ $v'=1,0$: Crozet et al, J. Mol. Spec, 303, 46 (2014)

Magnetic sensitivity of FeH
Wing-Ford band
 $F^4\Delta - X^4\Delta (0,0)$



3. Etat de l'Art au labo / CrH (S=5/2)

Zero field data

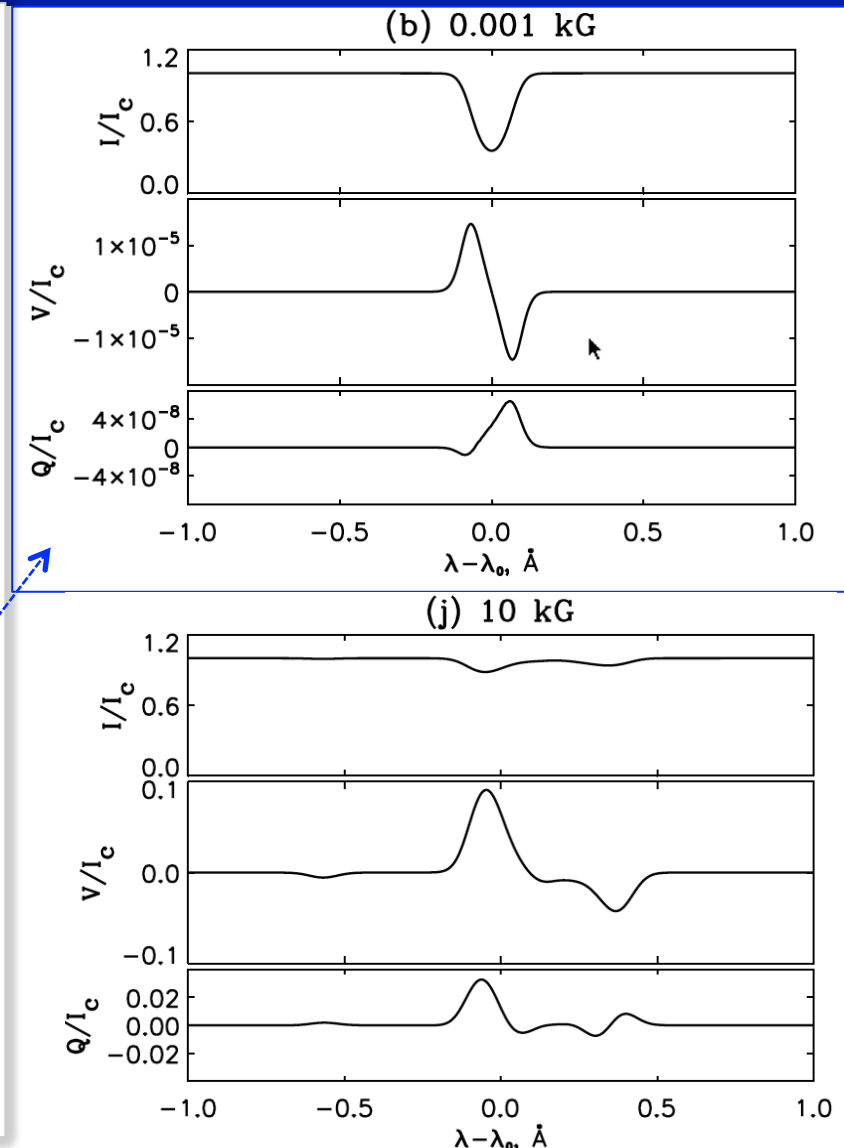
- FTS/discharge : A $^6\Sigma^+$ - X $^6\Sigma^+$ (0-0) @ 861 nm
Ram et al, J. Mol. Spectrosc., 161, 445(1993)
--> quantum mechanical *H_{eff}* model
- Bernath Atlas :
Burrows et al, ApJ, 57, 986 (2002).

Magnetic response : NOT MUCH ...

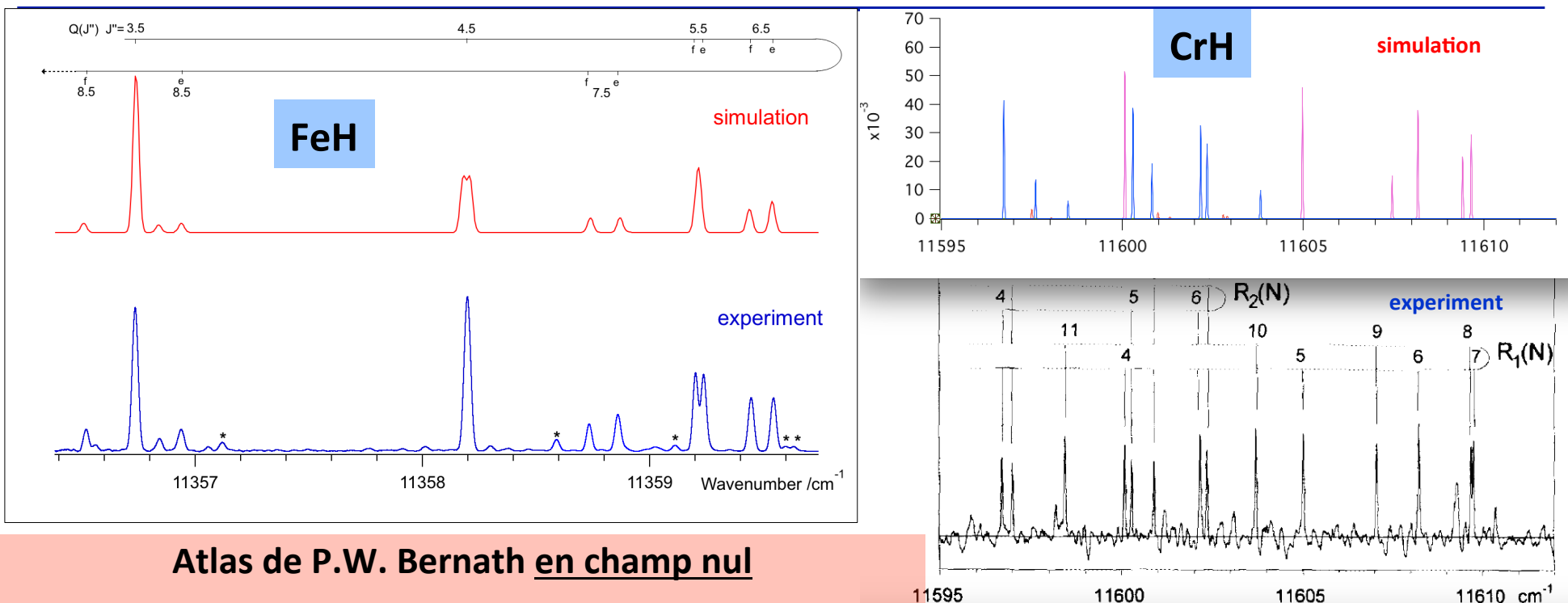
- LMR /discharge : X $^2\Delta$, v''=0, N''<6 :
S.Corkery et al, J. Mol. Spectrosc. 149, 257 (1991)
- LIF/beam A-X, J''<5 v'=0,1 :
J. Chen et al, PCCP, 9, 949 (2007)
- *H_{eff}* model for A-X (0-0) :
O. Kuzmychov, A&A, 558, A120 (2013).
Spectropolarimetry simulation : strong asymmetric splitting for Stokes Q @ B > 1 G Paschen-Back regime
"a considerable signal in both circular and linear polarization, up to 30% @ B ≥ 3 kG in early L dwarfs"

=> Needs from the lab :

- * absorption cross-sections(B=0)
- * γ_{eff}



3. Etat de l'Art au labo / Atlases : caveat ...



Atlas de P.W. Bernath en champ nul

FeH : Dulick et al, ApJ, 594:651–663 (2003).

CrH : Burrows et al, ApJ, 577:986–992 (2002).

Les simulations stellaires nécessitent les fréquences, opacités et réponses magnétiques précises des raies moléculaires.

Atlas : les fréquences et coeff. A d'Einstein des transitions $(v', J') \leftarrow (v'', J'')$ sont obtenus par extrapolation de données de laboratoire, à partir de calculs ab-initio, peu fiables en raison de l'imbrication des états électroniques et vibrationnels (approximation B-O non valide)

=> **mesures directes nécessaires, même en champ nul, et même à bas J.**

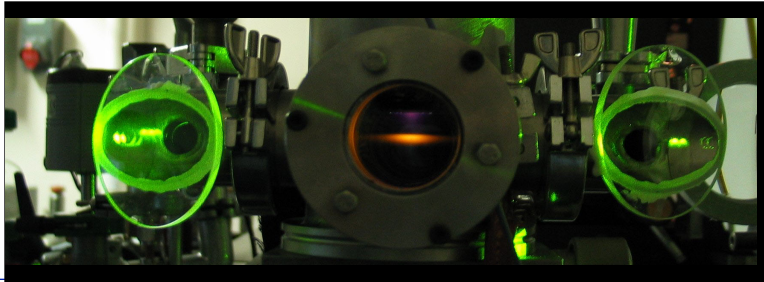
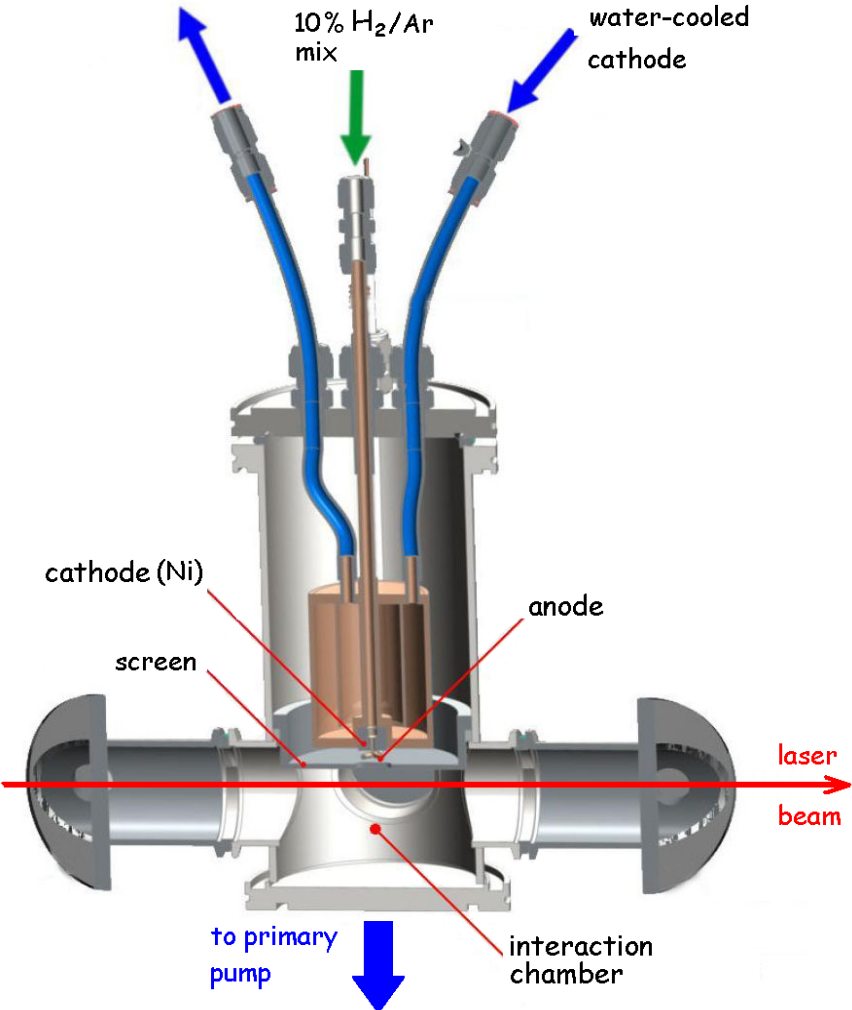
Ram et al, J. Mol. Spectrosc., 161, 445(1993)

Simulation du profil d'absorption :

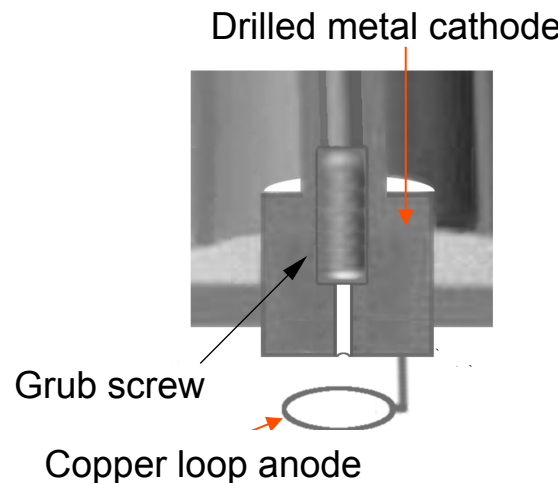
$$I = I_0 e^{-Sg(\nu - \nu_0)Nl}$$

$$S = \frac{A_{J'J''}}{8\pi\nu_0^2} (2J' + 1) \frac{e^{-E''/kT} \left(1 - e^{-h\nu_0/kT}\right)}{Q(T)}$$

3. Etat de l'Art au labo / MH production : hollow cathode discharge



décharge : 250 V_{DC}, i=100 mA.
pression : 0.5 - 2 torr
débit : 5 10⁻⁵ mol/s

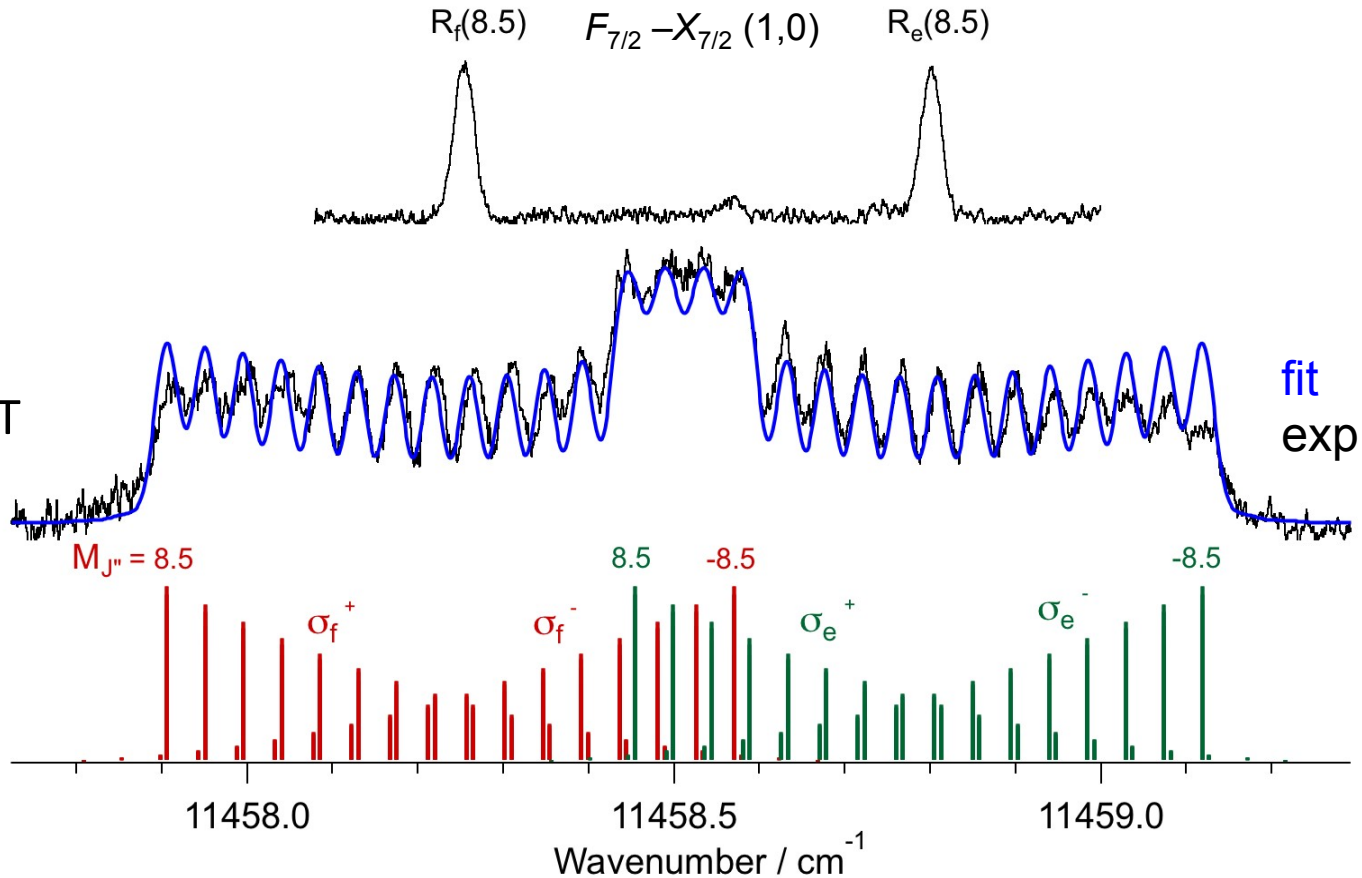


Source 'froide' ($T_{\text{rot}} = 400 \text{ K}$) :
- fréquences des raies d'absorption précises
- splittings Zeeman résolus
Mais : $J < 10$
=> gagner en sensibilité !

3. Etat de l'Art au labo / Measurement of FeH g_J factors

B = 0 T

B = 0.455 T



Line profile model (*Igor pro*) : $I(v) = \eta \cdot \delta \cdot I_{\text{Laser}} \cdot \sigma_{12}(v - v_{12}) N_1$

η : quantum yield of level 2, δ : detection efficiency

$$\sigma_{12}(v - v_{12}) = B_{12}(v_0) \cdot g_D(v - v_{12}) \cdot h\nu_0/c$$

$$B_{12}(v_{12}) = (1/6\varepsilon_0\hbar^2) \langle 1 | \mu_{12} | 2 \rangle^2$$

$$1 = |\alpha'', J'', M''_J\rangle$$

$$2 = |\alpha', J', M'_J\rangle$$

$$v_{12} = v_0 + \frac{g'_{J'} M'_{J'} \mu_B B}{J'(J'+1)} - \frac{g''_{J''} M''_{J''} \mu_B B}{J''(J''+1)}$$

parameters : σ_{12} , N_1 , g'_J , g''_J , B .

B calibrated (0.5%) with Ar* lines

$g''_{J''}$: constrained to FIR exp. values (J.M. Brown, J. Chem. Phys., 124 (2006))

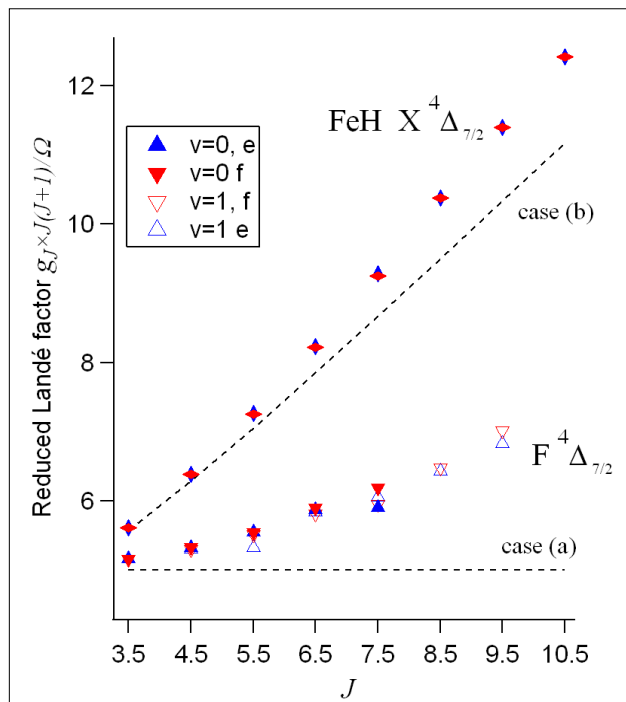
3. Etat de l'Art au labo / New FeH laboratory Landé factors :

P. Crozet , G. Dobrev , C. Richard, A. J. Ross, J. Mol. Spectrosc., 303, 46 (2014)

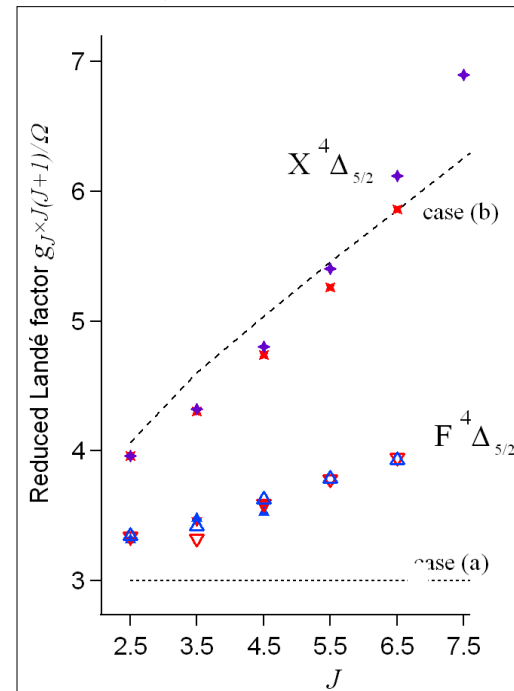
Electronic Landé factors $g_J \times J(J+1)/\Omega$

Fit data from $B = 0.2-0.6$ T, and examine results for two nominally $^4\Delta$ states

X, F $^4\Delta$ $\Omega = 7/2$



X, F $^4\Delta$, $\Omega = 5/2$



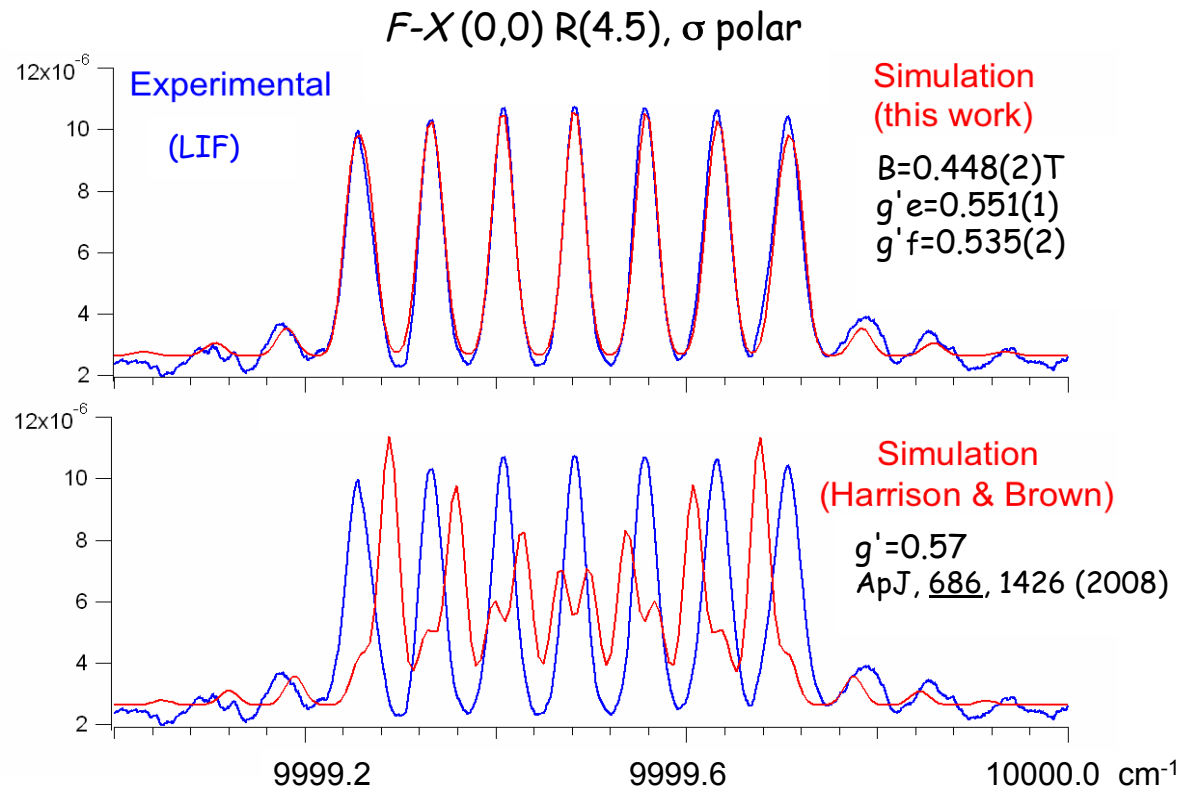
X : v=0 from LMR results of Brown, Evenson et al JCP, 124, 234309 (2006)

F : Match for v=1, J=3.5 from molecular beam study (Harrison et al. ApJ 679 854 (2008))

Mismatch ~4% wrt sunspot-derived g-factors Harrison & Brown, ApJ, 686 1426 (2008)

3. Etat de l'Art au labo / Does a 4% difference in g' , really matter?

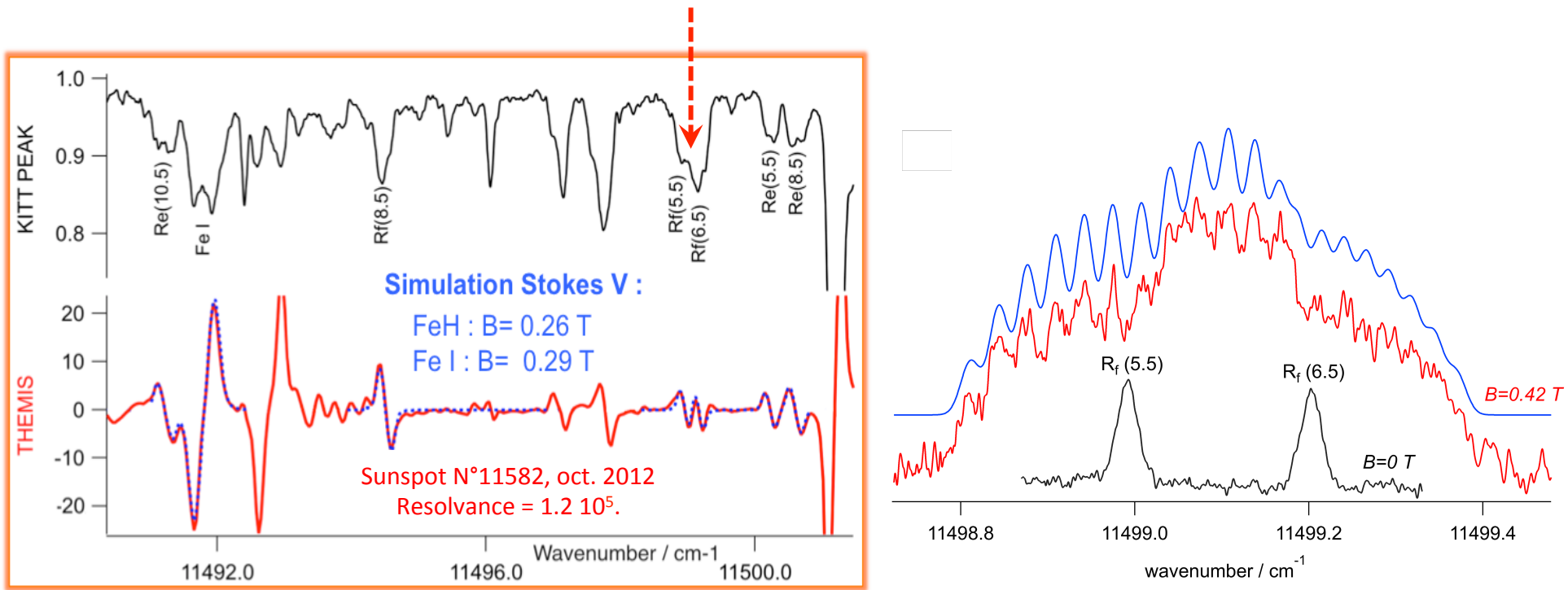
Previous Landé factors were deduced from molecular simulation of sunspot data, using Zeeman splittings of Ti lines to calibrate the local magnetic flux B .



uncertainty in sunspot magnetic flux B may explain previous overestimation of F state Landé factors.

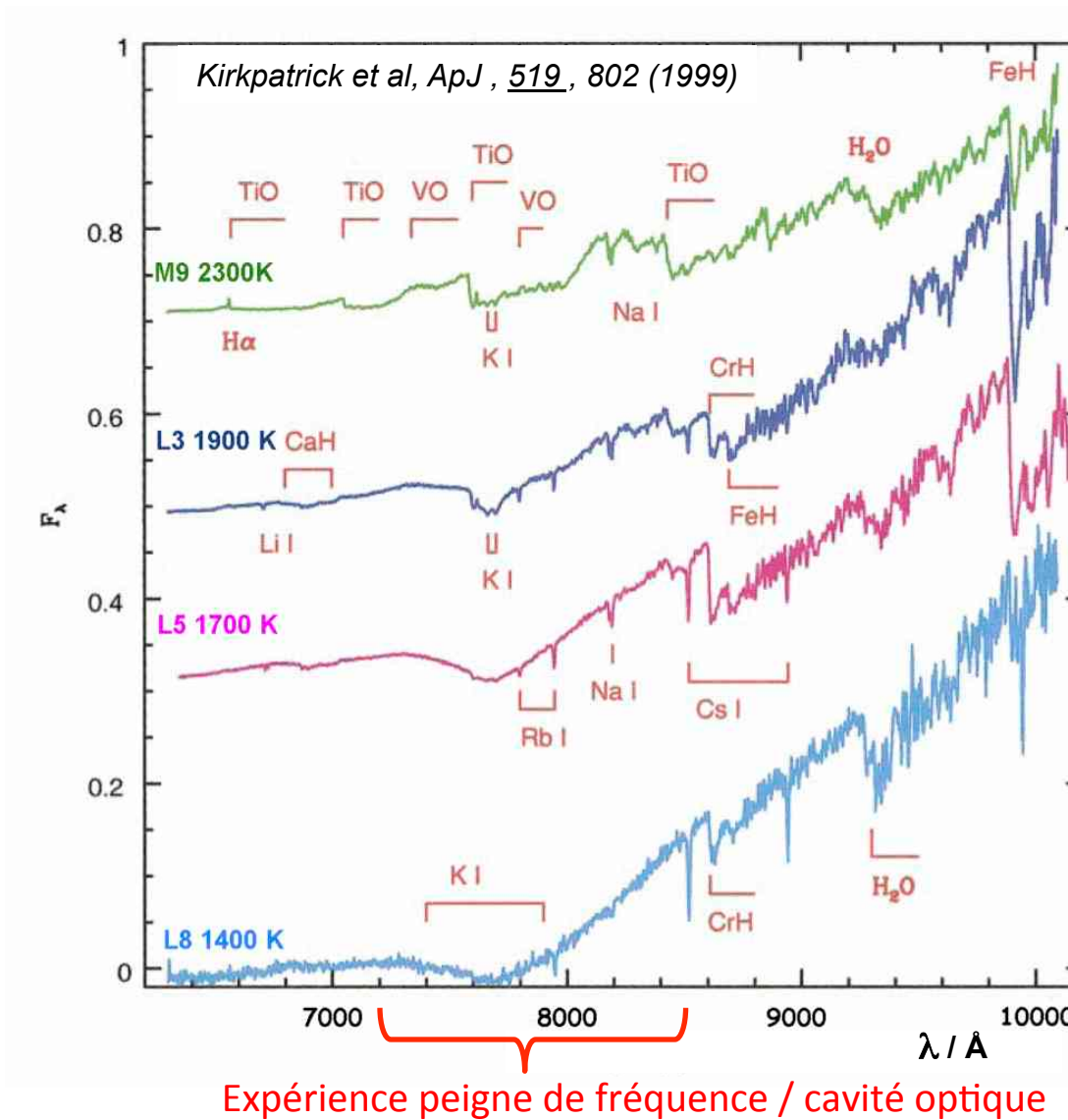
3. Etat de l'Art au labo / Application to sunspots

Our new Landé factors involve also the spin-orbit component F_2 (1-0) $\Omega=5/2\dots$



P. Crozet, A. J. Ross, N. Alleq, A. López Ariste, C. Le Men and B. Gelly,
Magnetic Fields throughout *Stellar Evolution*,
Proc. IAU Symposium 302 (2013) 164-165, I.A.U. 2014, P. Petit, M. Jardine & H. Spruit, eds.

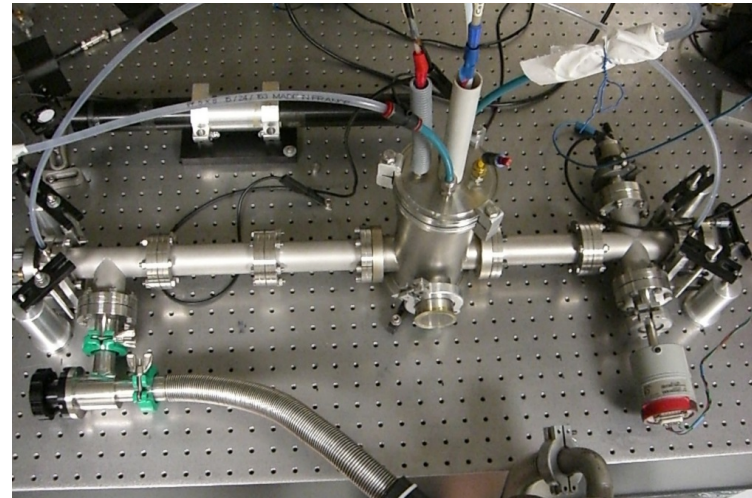
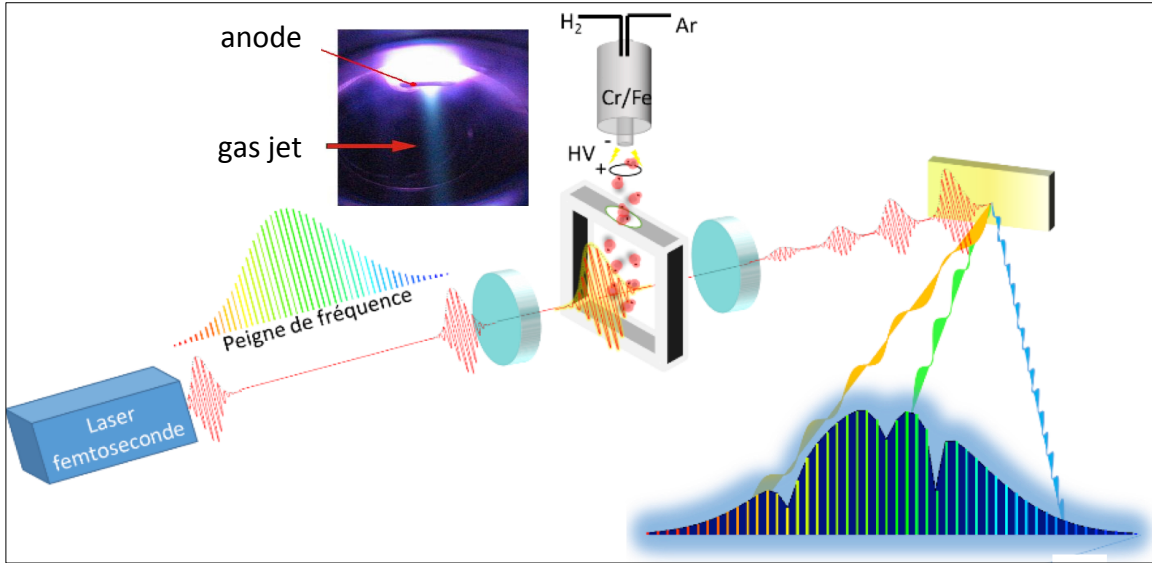
4. Projet en cours/ Nouvelle approche instrumentale



4. Projet en cours/

Spectromètre Vernier

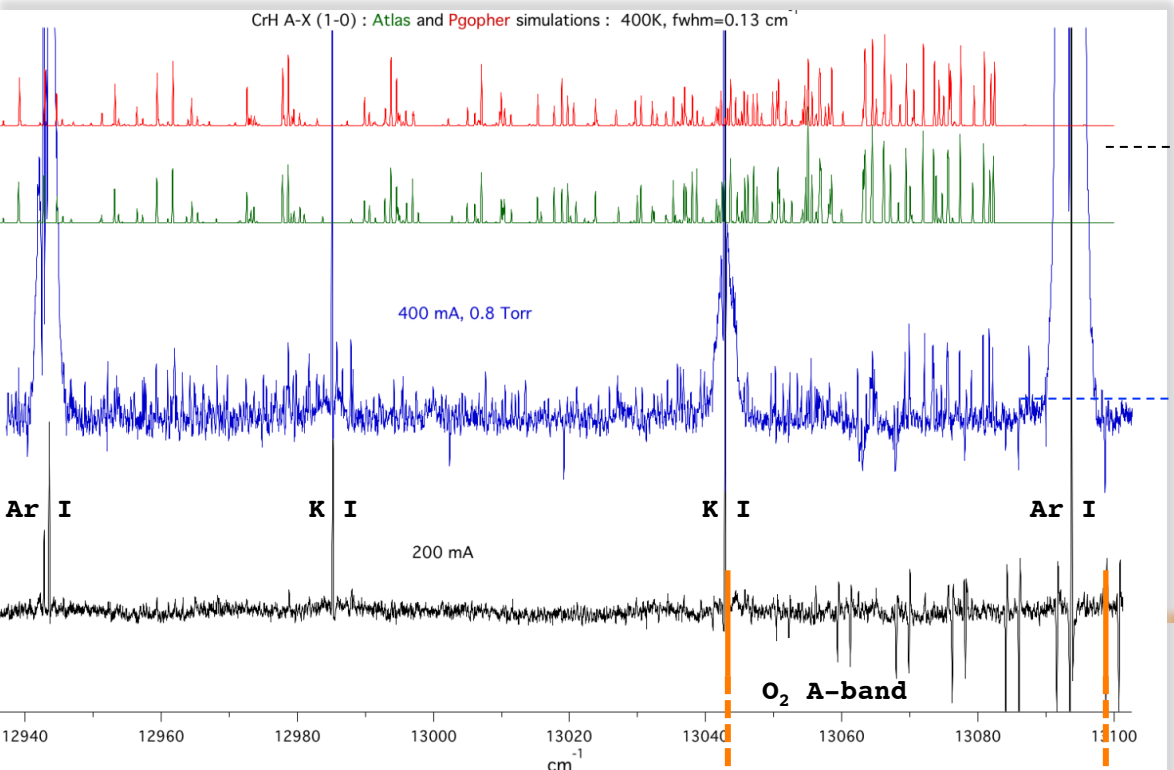
L. Rutkowski & J. Morville, Opt. Lett. 39 (23), 6664 (2014)



Avantages :

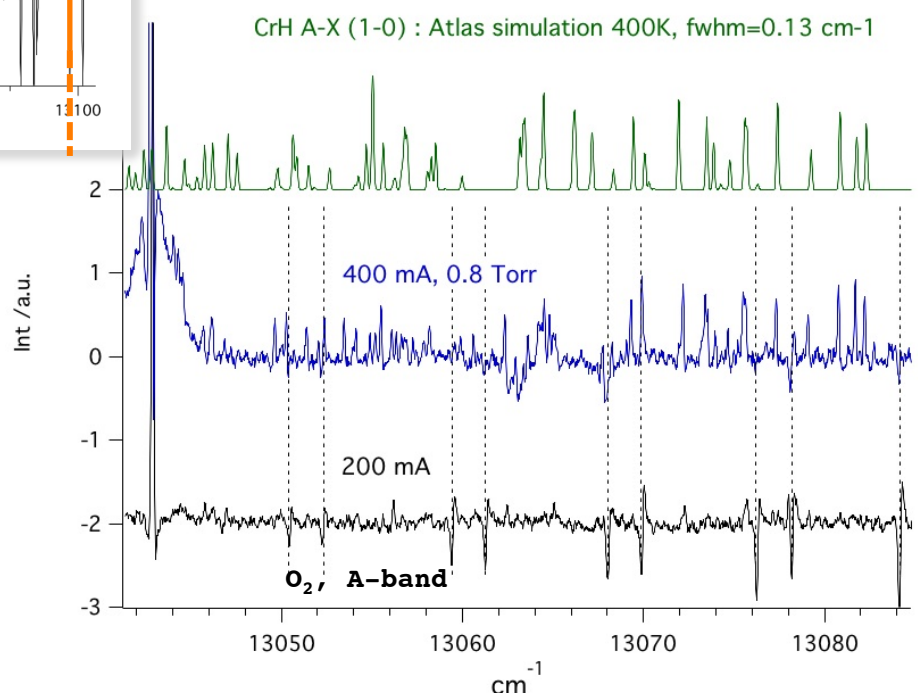
- fenêtre d'enregistrement : 20 THz (40 nm @780 nm)
- sensibilité : détection intracavité $L_{eq} \sim 400$ m.
- résolution : $\mathcal{F}_V = \mathcal{F}_C = FSR_C / \Gamma_C$
- échantillonnage rapide : 100 spectres moyennés en 1s.

4/ Résultats préliminaires : CrH A $^6\Sigma^+$ -X $^6\Sigma^+$ (1-0)



→ Simulations CrH : **Atlas et Pgopher** :
400 K, fwhm=0.13 cm $^{-1}$

→ Paramètres d'enregistrement :
- flux gazeux Ar + H₂ 5% : 50 sccm @ 0.8 Torr
- décharge plasma : 400 mA , 250 V_{DC}.

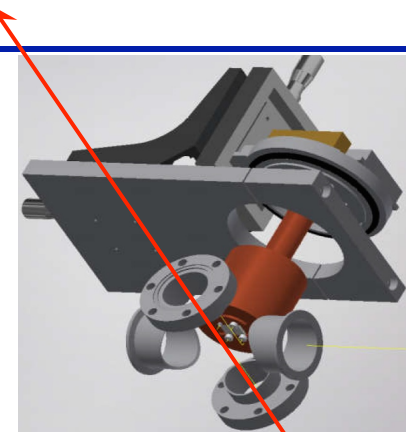


52CrH détecté dans la bande A-X (1-0) à 764 nm,
10 fois plus faible que la bande (0-0) vers 861 nm
observée dans les spectres de naines brunes.

4. Conclusion / perspectives

❖ Source MH en construction (financement PNPS 2016) :

- décharge / fente-source : longueur d'absorption ↗
- réglages micrométriques de la tête-cathode : signal optimal.



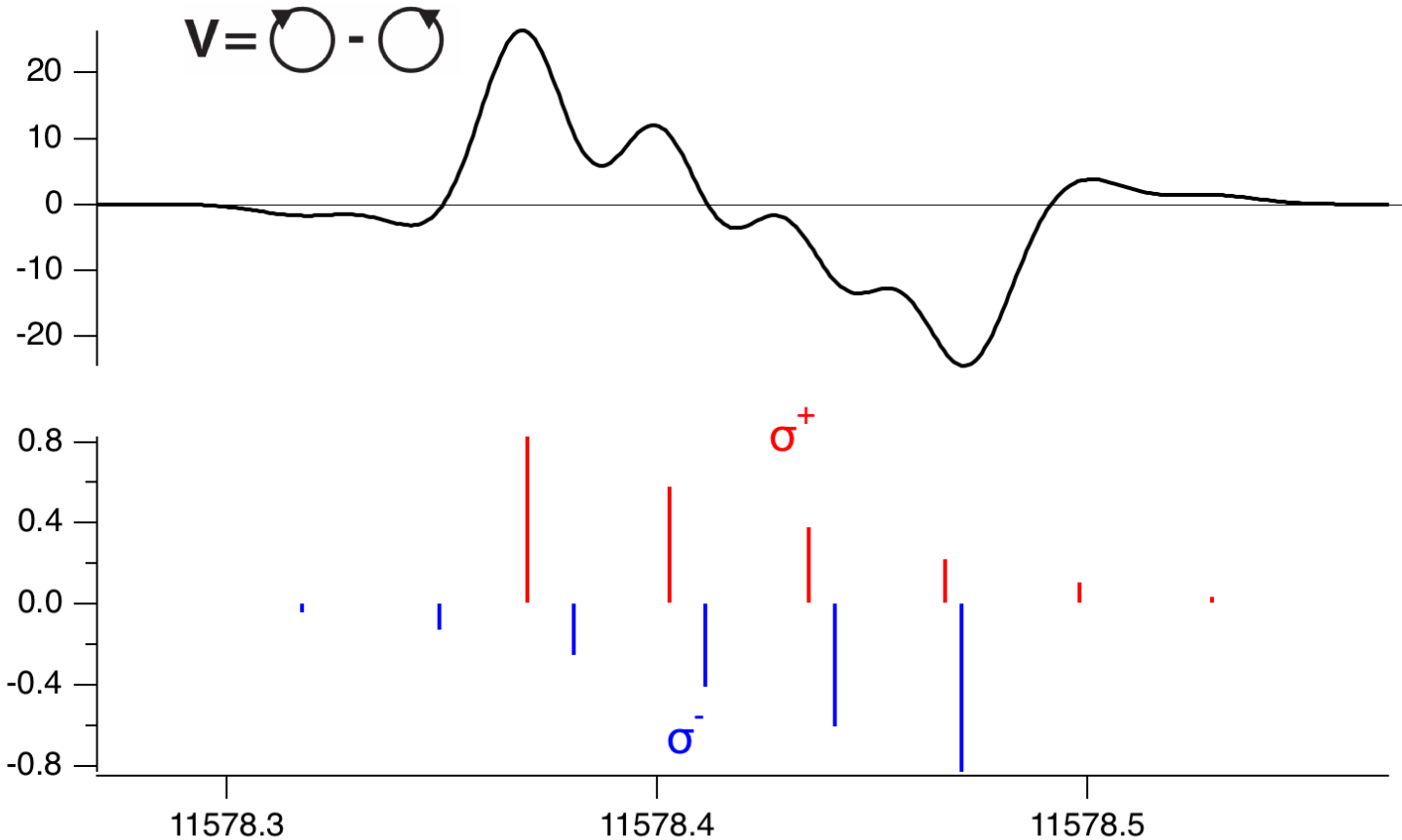
mécanique : J. MAURELLI, ILM

❖ Enregistrement des spectres d'absorption /Spectromètre Vernier

Objectifs : - Spectres d'absorption large bande de CrH 0-0 et 1-0 @B=0 et B<0.6 T
à résolution Doppler (0.002 nm) → nouvelle cavité.
- accès aux grands J (≈ 20.5), grâce à une sensibilité accrue (*).
- mesure des réponses magnétiques σ^+ , σ^- , π .

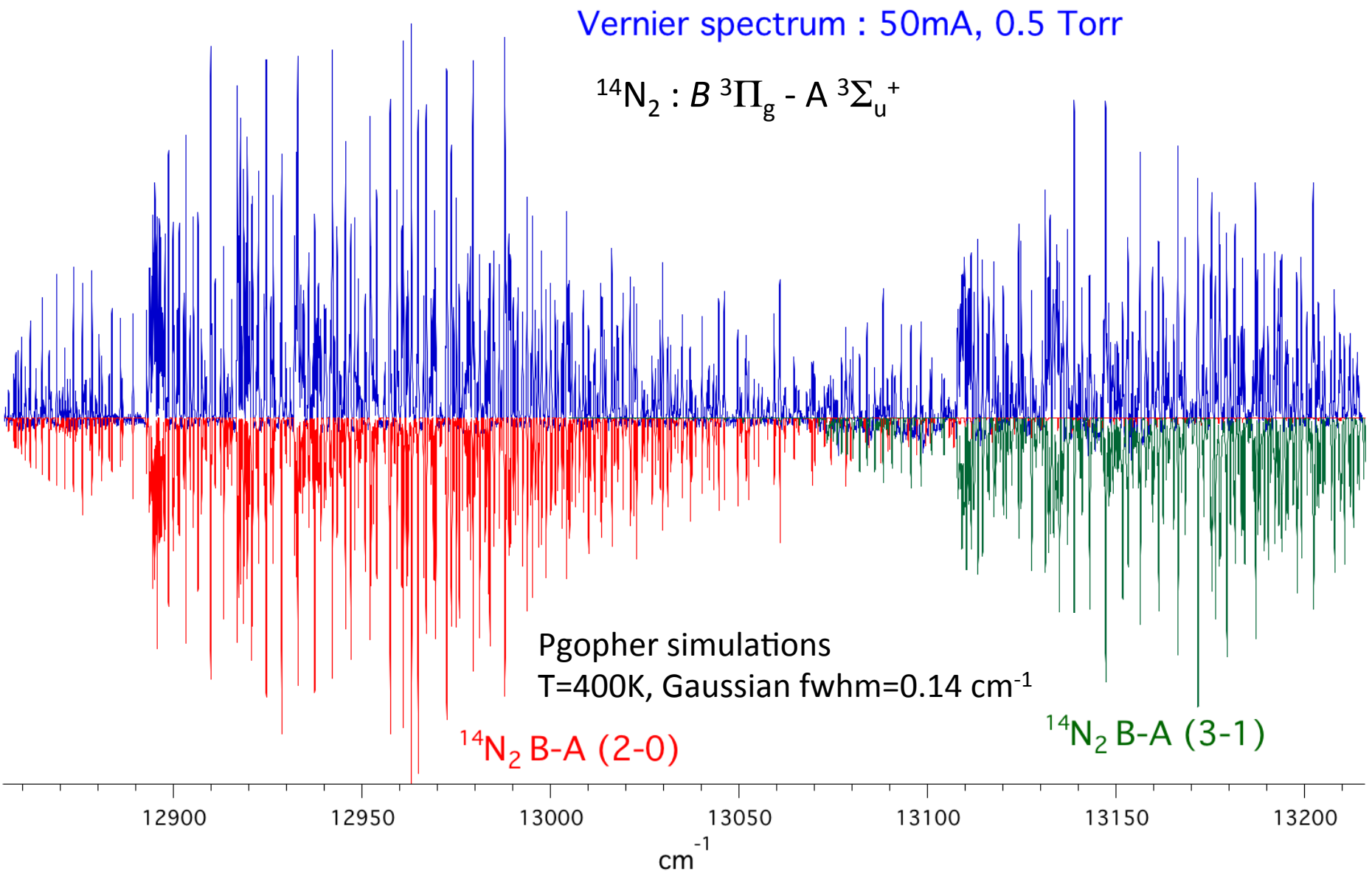
(*) Défis pour augmenter la sensibilité : - élimination des franges (*etalonning* de cavité)
- bande passante de l'asservissement (AOM shifter)
- caractériser la fonction d'appareil du spectromètre.

5. Conclusion / Autre défis : simulations de CrH



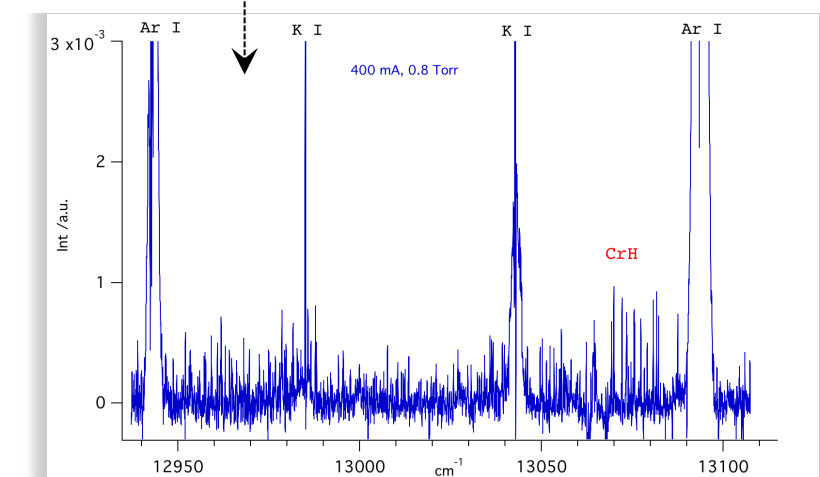
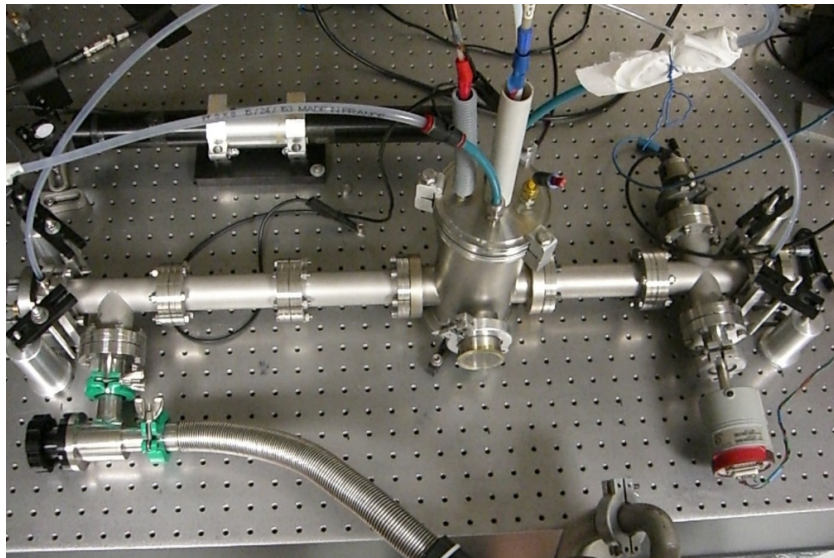
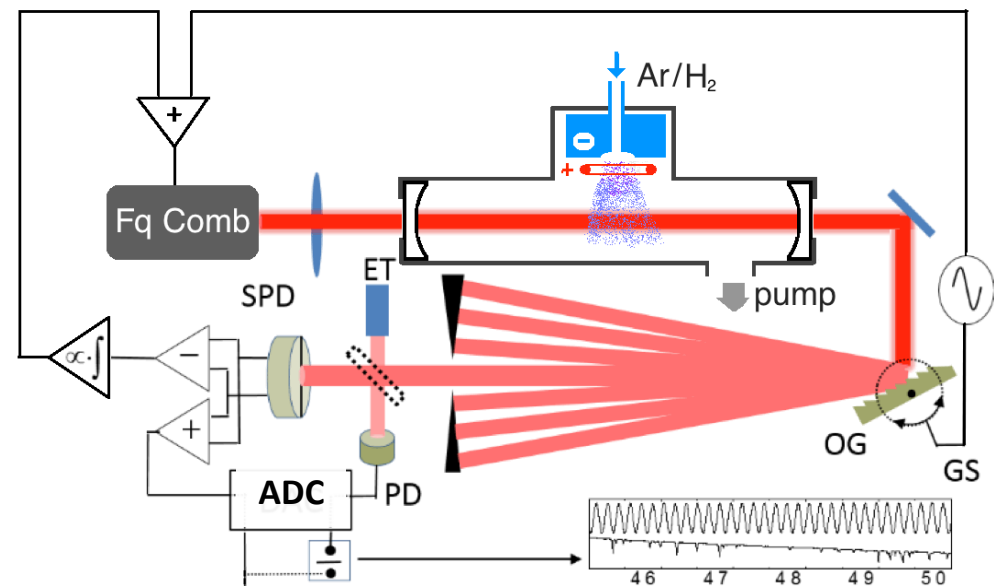
Simulation moléculaire Pgopher
CrH $rR_4(2.5)$: B=0.2 T, fwhm_{Gauss}=0.024 cm⁻¹

Spectre du premier système positif de l'azote moléculaire:



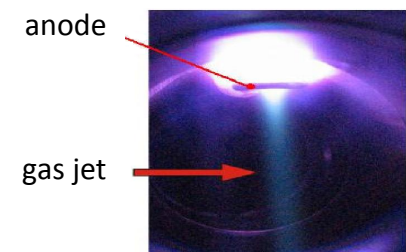
Spectromètre Vernier : une nouvelle approche instrumentale

L. Rutkowski & J. Morville, Opt. Lett. 39 (23), 6664 (2014)

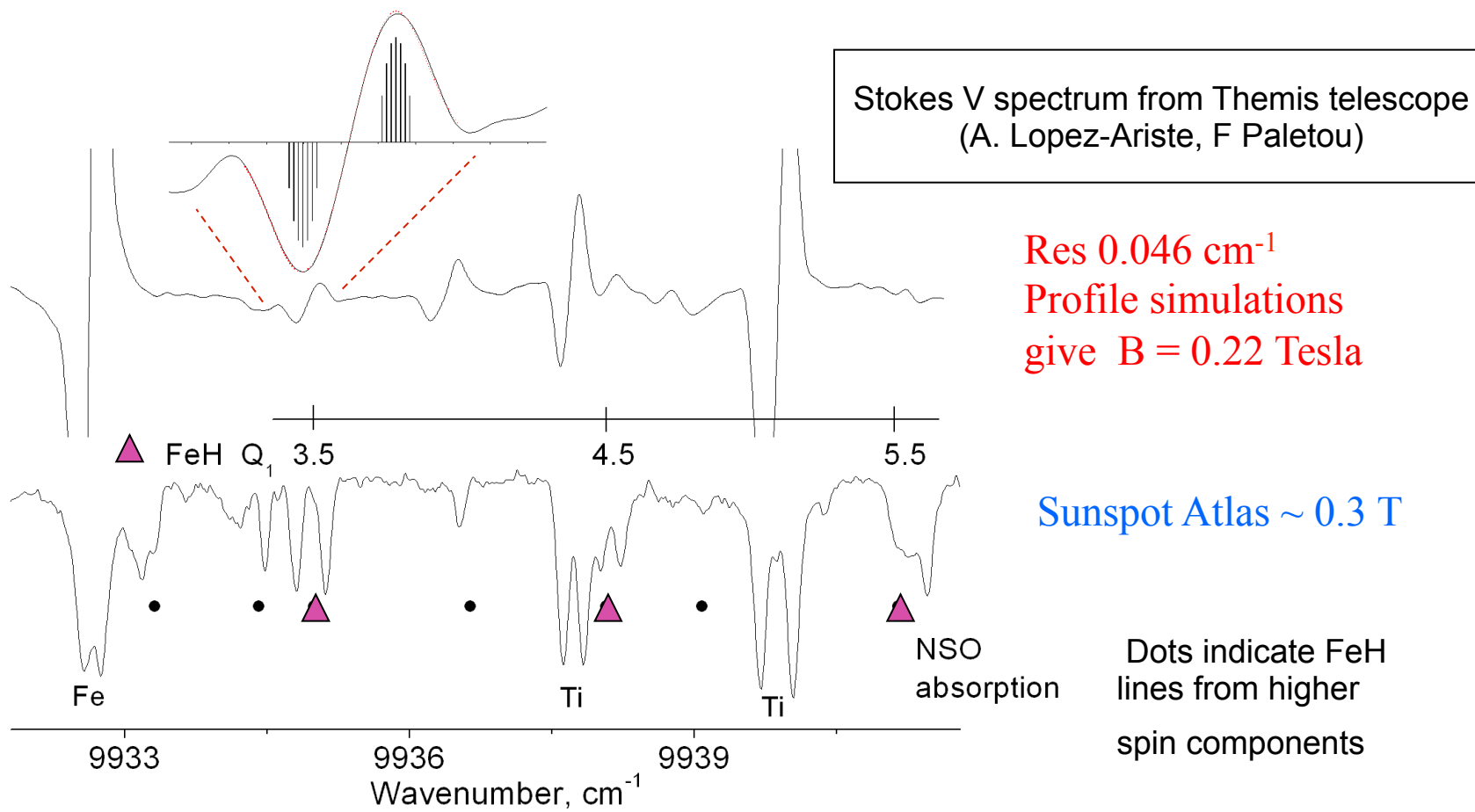


Legend

- OG : Optical Grating
- GS : Galvo-Scanner
- SPD : Split-Photodiode
- PD : Photodiode
- ET : Etalon (1mm)
- ADC : Analog to Digital Converter.



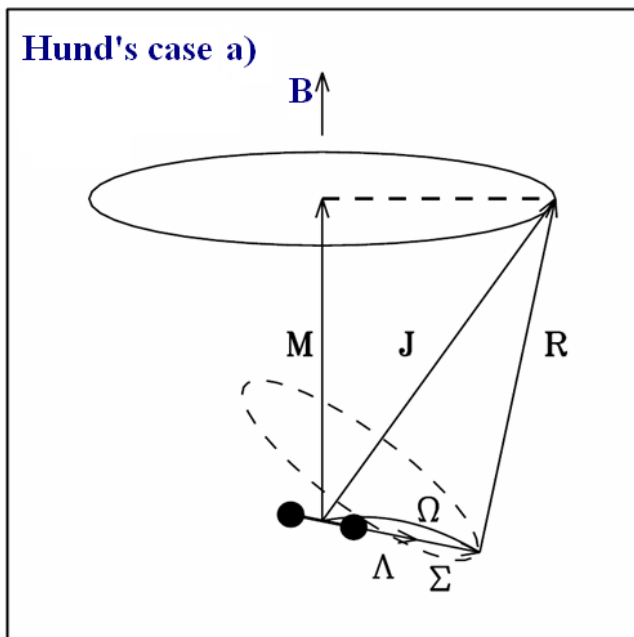
Using our parameters, we can determine the magnetic field for FeH in sunspots



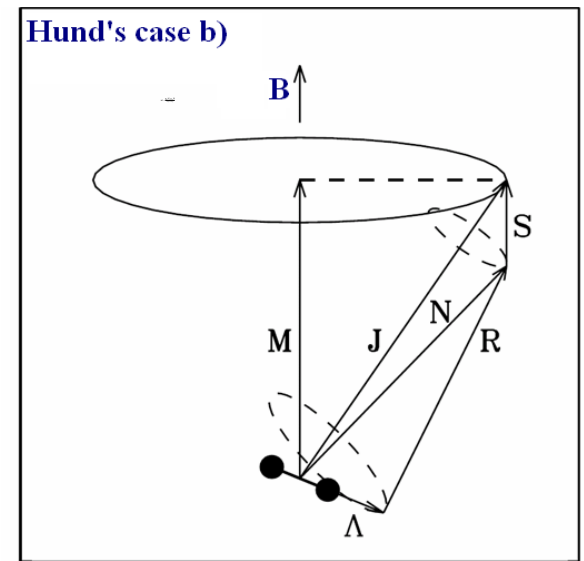
FeH Landé factors give B = 0.22 Tesla for the Themis spectrum.
Atomic lines give B = 0.25 T. Molecules are likely formed at higher altitudes.

Aim of this work = find g_J for many J in the F $^4\Delta$ state.

LMR studies (Brown, Evenson & co-workers) established molecular Landé factors are close to Hund's case b) limit for the X $^4\Delta$ ground state. What about F $^4\Delta$?



$$\Delta E = \frac{g_J M_J \mu_B B}{J(J+1)}$$



$$\Delta E = \frac{(\Lambda + 2.003\Sigma)\Omega M_J \mu_B B}{J(J+1)}$$

$$\Delta E = \frac{M_J \mu_B B}{2J(J+1)} \left[\frac{g_L \Lambda^2 (J(J+1) + N(N+1) - S(S+1))}{N(N+1)} + g_s [J(J+1) - N(N+1) + S(S+1)] \right]$$

From : S. V. Berdyugina and S. K. Solanki, A&A 385(2002)701

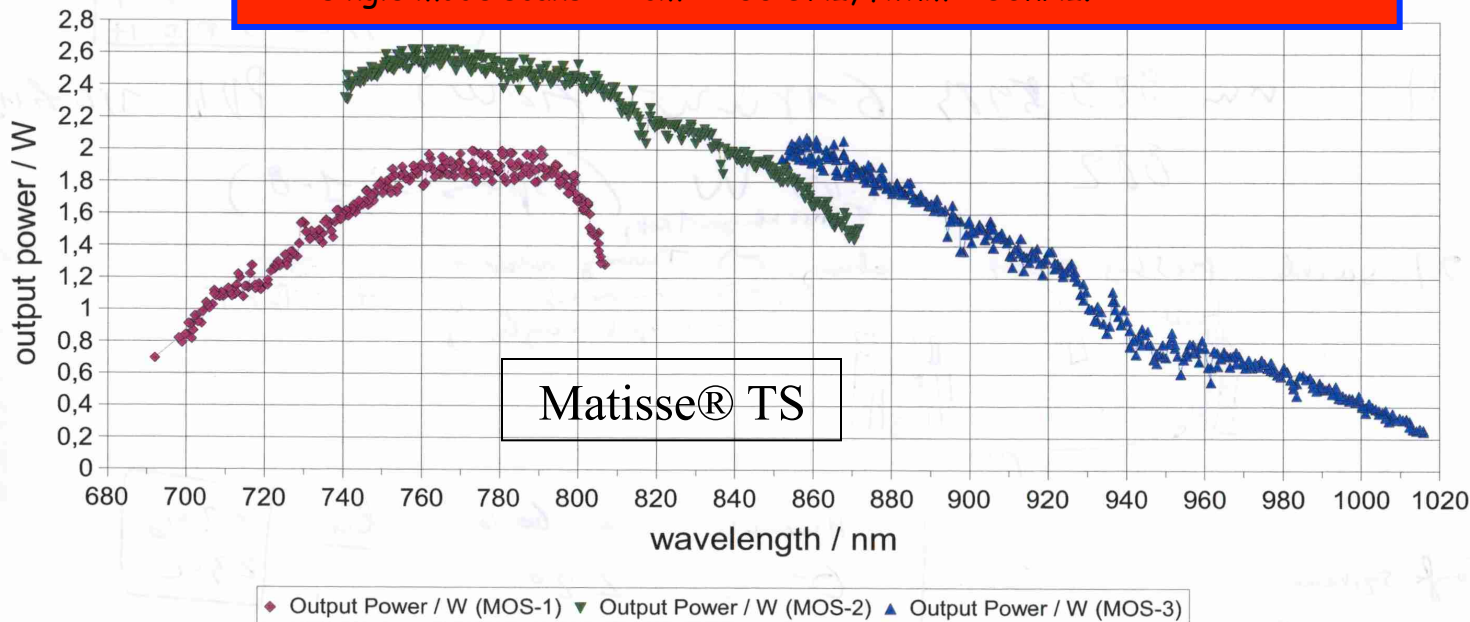
We have now (thanks to ANR) a benchmark cw tunable laser

Specs at FeH $F-X$ bands (10W pump @ 532 nm)

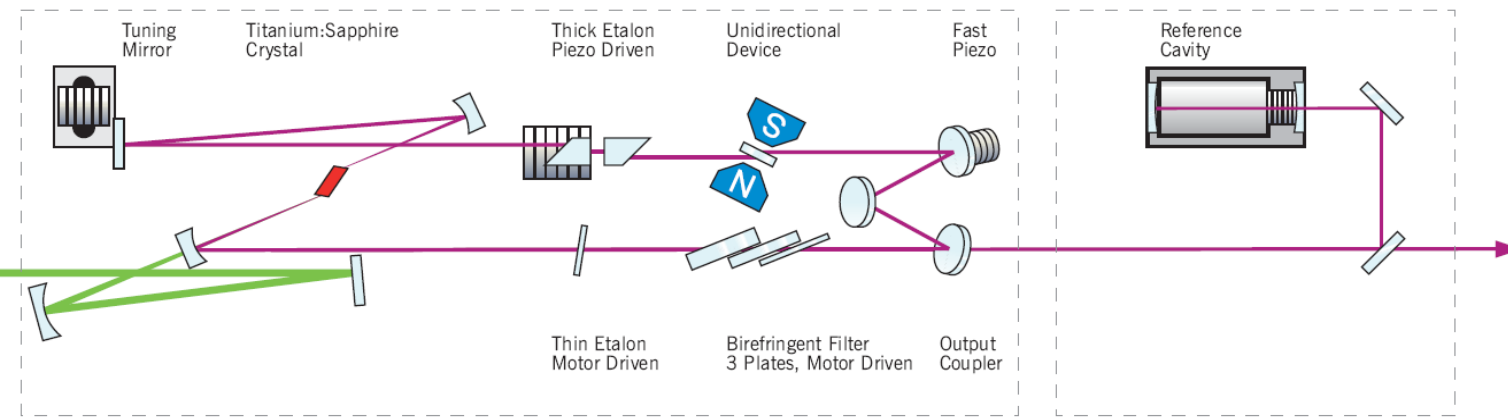
(1,0) $\lambda=880$ nm : $P= 1.8$ W ,

(0,0) $\lambda=989$ nm : $P= 0.6$ W

single mode scans : $2 \text{ cm}^{-1} = 60 \text{ GHz}$, fwhm <150kHz.

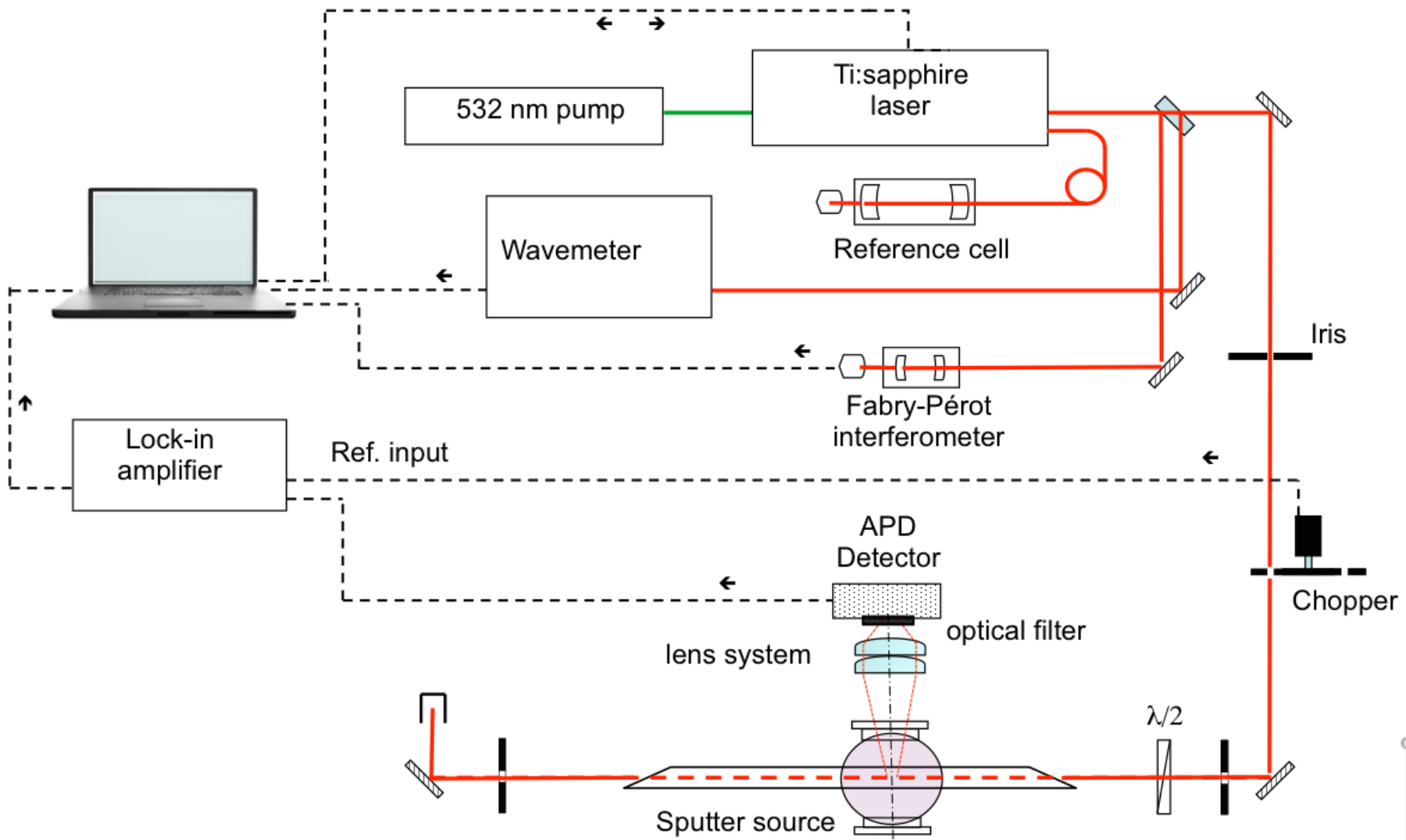


Optical Layout



ANR LASSA (ILM/IRAP, 2009-2011)

the experimental setup ...

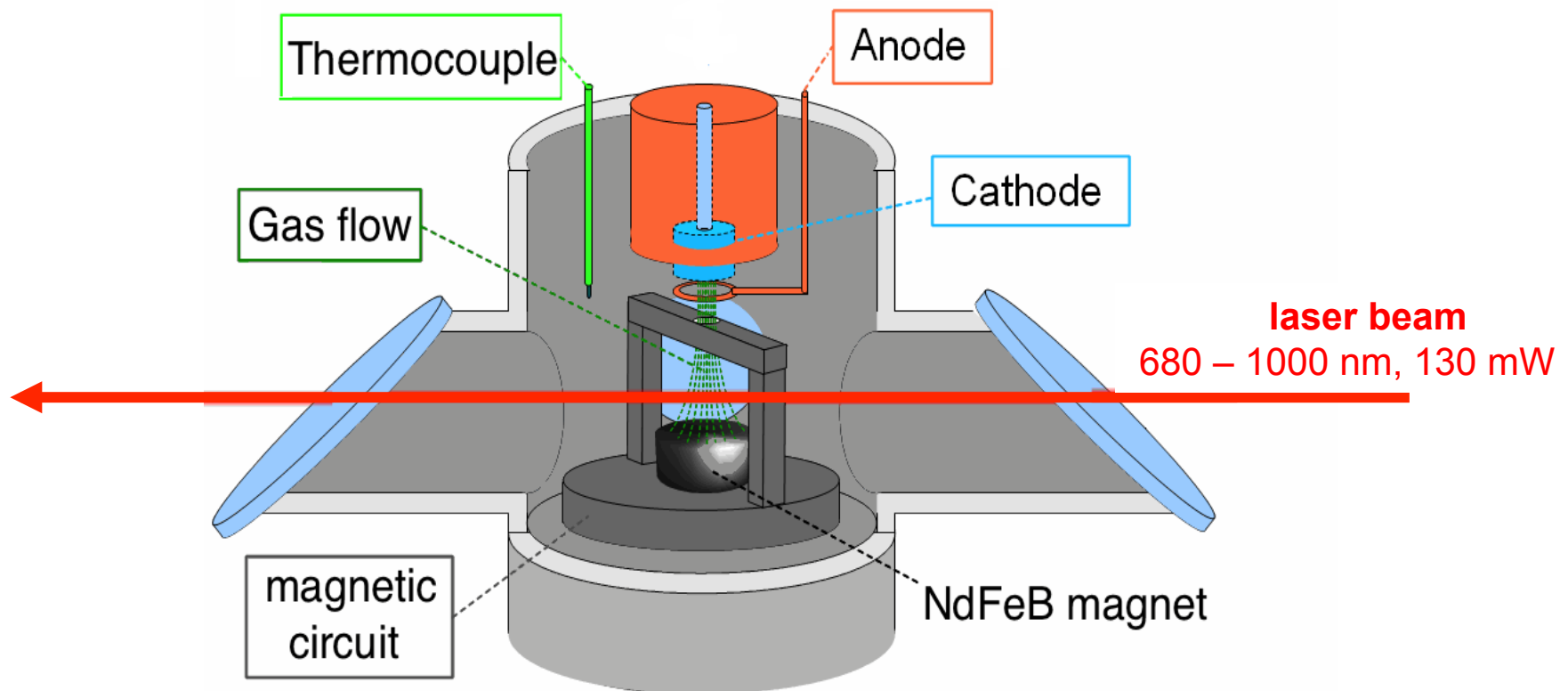


Source à MH

FeH is formed at ~ 400 K, populating $J < 10.5$ in $X^4\Delta_{7/2}$ and 8.5 in ${}^4\Delta_{5/2}$

Sputter source : Fe cathode, located above a permanent magnet.

$i = 350$ mA , gas flow ~ 40 sccm (10% H₂ in argon), $p = 1$ torr



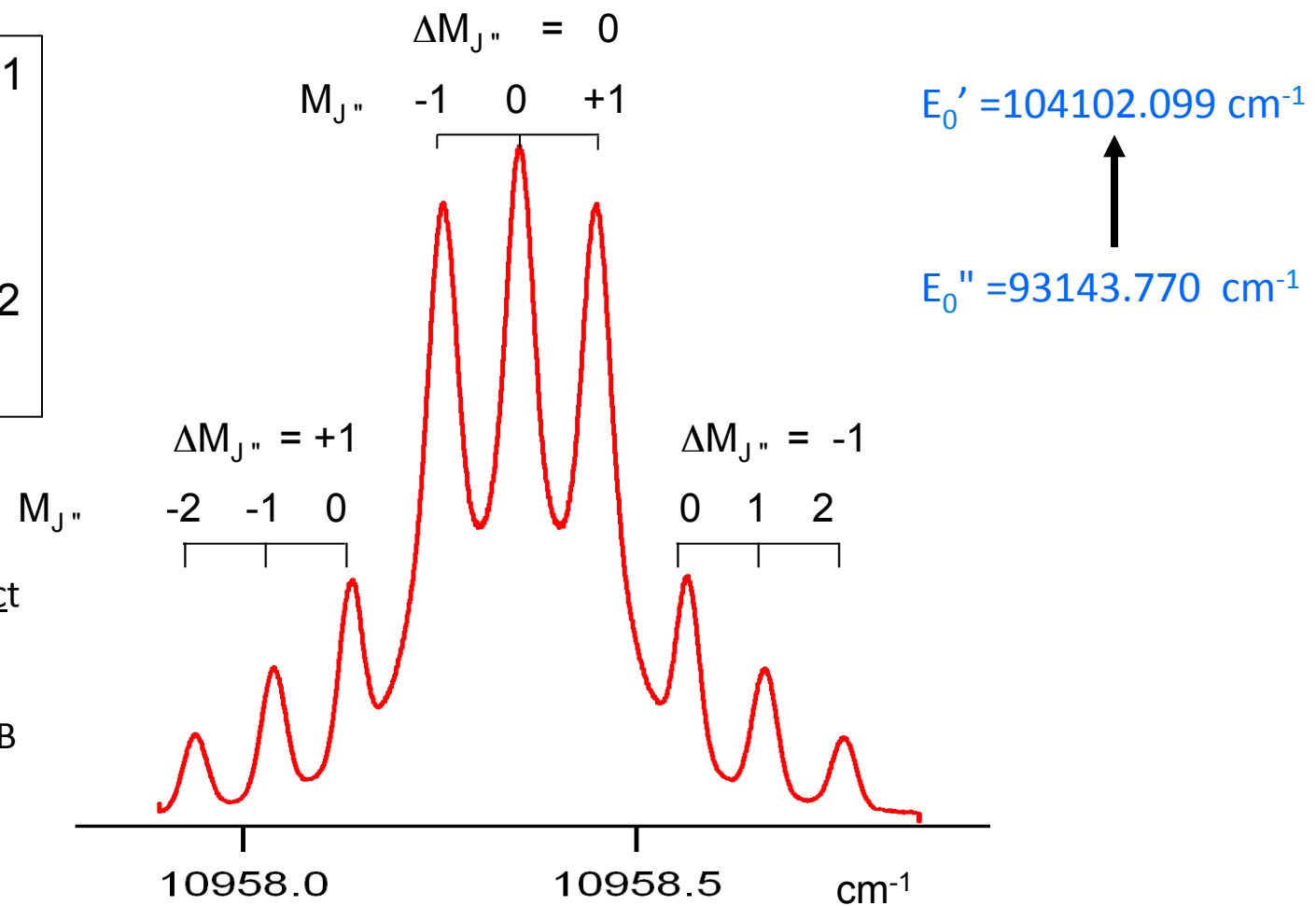
Magnetic field calibration from Ar* lines

$3s^2 3p^5 ({}^2P^o_{3/2}) 4p J'=1$

$g' = 1.985$

$3s^2 3p^5 ({}^2P^o_{3/2}) 4s J'=2$

$g'' = 1.506$

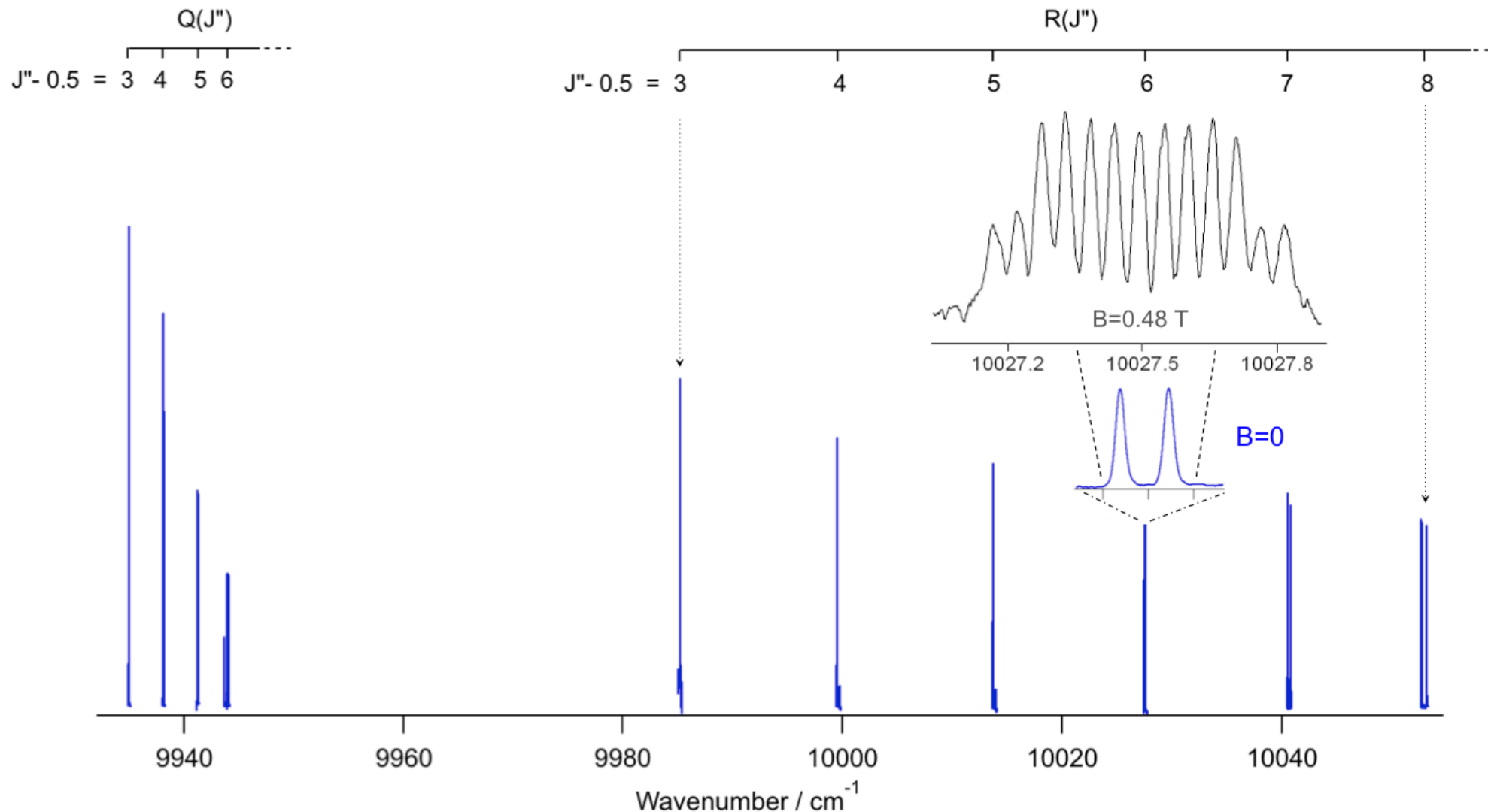


Separations depend on product
Field x Landé factor.

Knowing g' and g'' we deduce B
 $= 0.443(2) \text{ Tesla}$

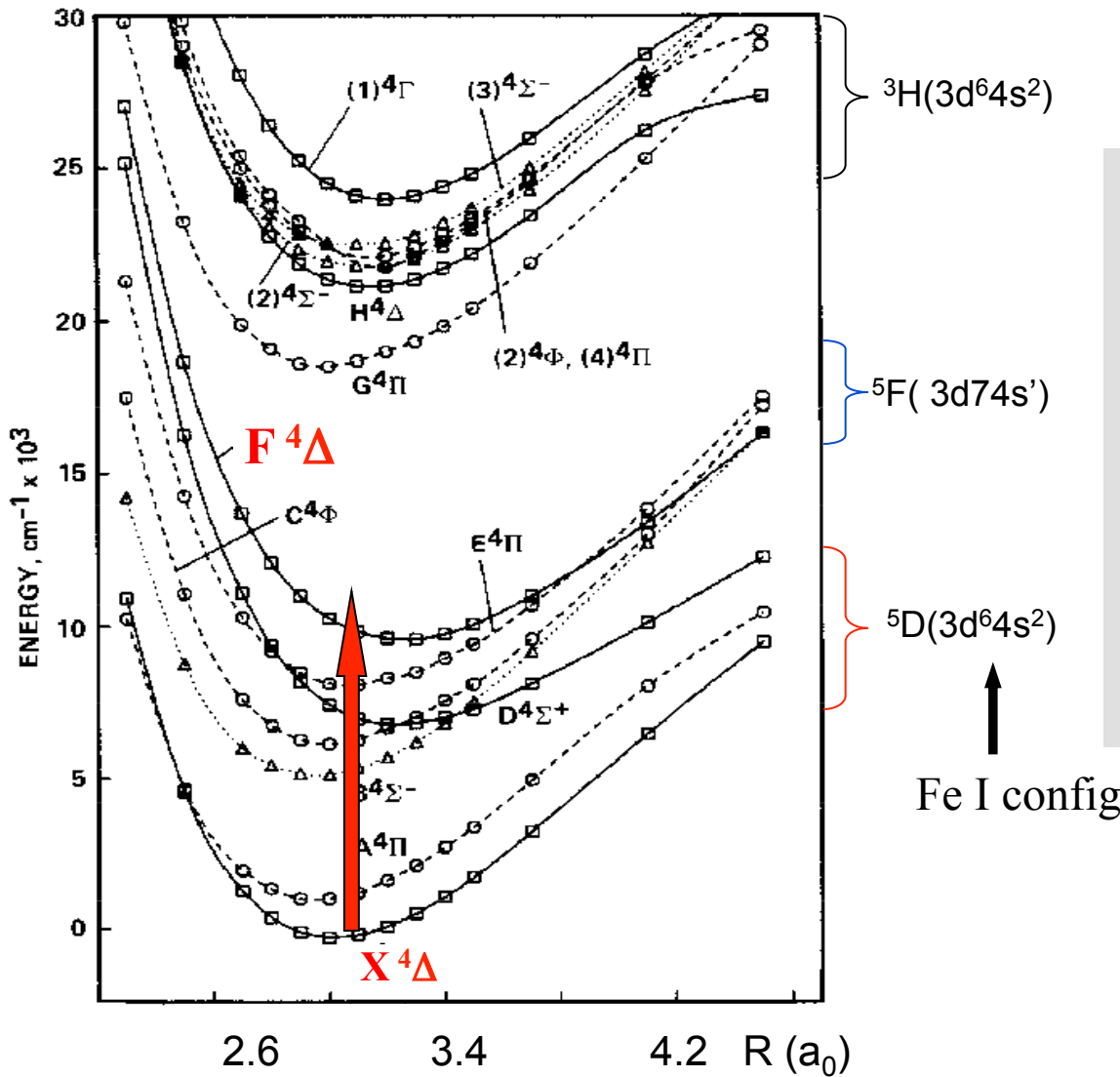
Peak positions can give B in Tesla. PROFILES are important for variation in B .

Wing-Ford band of FeH: *some results*



FeH electronic structure from ab initio calculations

Langhoff & Bauschlicher, *J Mol Spectrosc.* 141, 243-257 (1990)



- ❖ 6 electronic states have been identified within 5000 cm^{-1} of the ground state;
- ❖ the A state lies only 970 cm^{-1} above the X state, while the first vibrational level at 1759 cm^{-1} .

=> Born-Oppenheimer approximation fails.

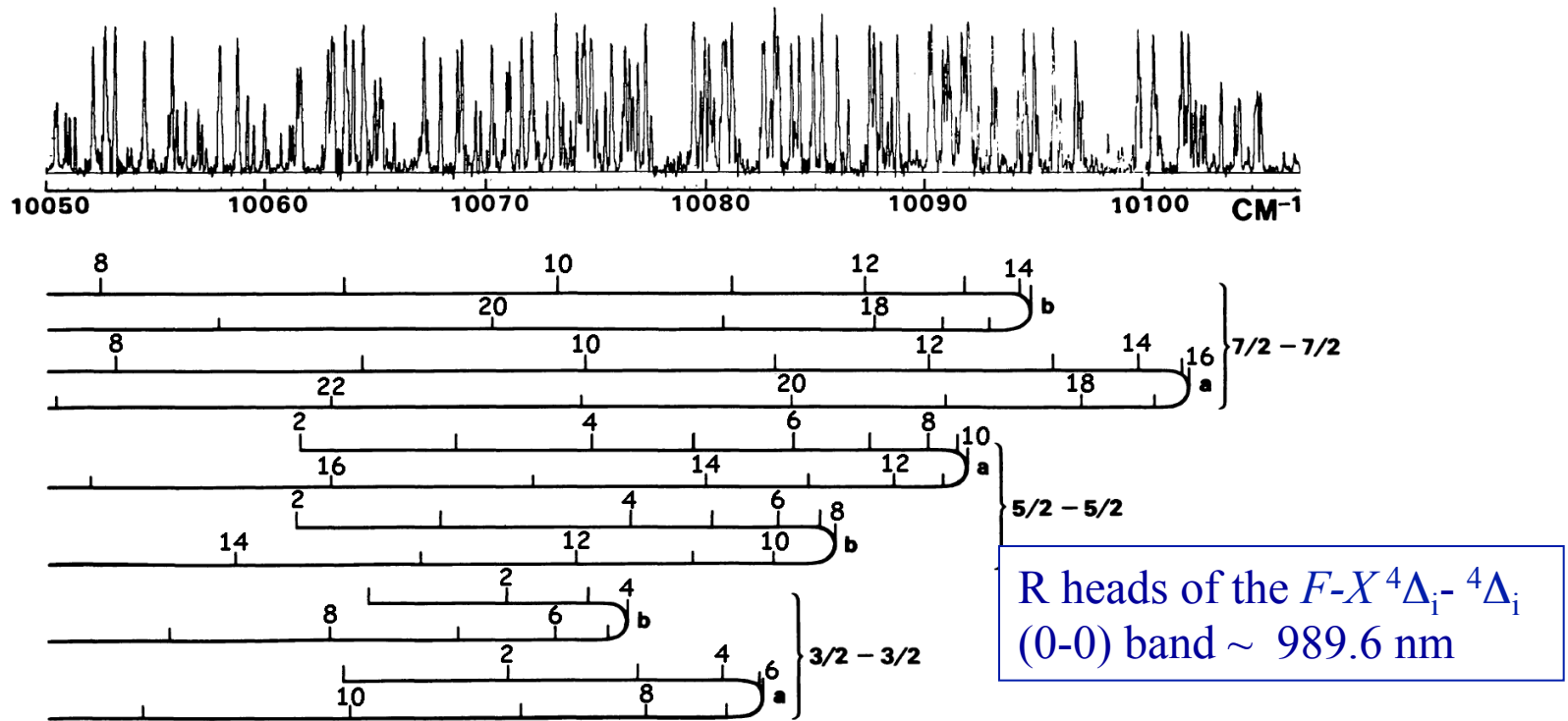
Calculations are not reliable.

Fe I config.

FeH absorption near 1 μ m (laboratory spectrum, Kitt Peak)

J.G. Phillips *et al*, ApJS, 65 (1975)721, then

M. Dulick *et al*, ApJ, 594:651–663 (2003), with full linelist available <http://bernath.uwaterloo.ca/FeH>



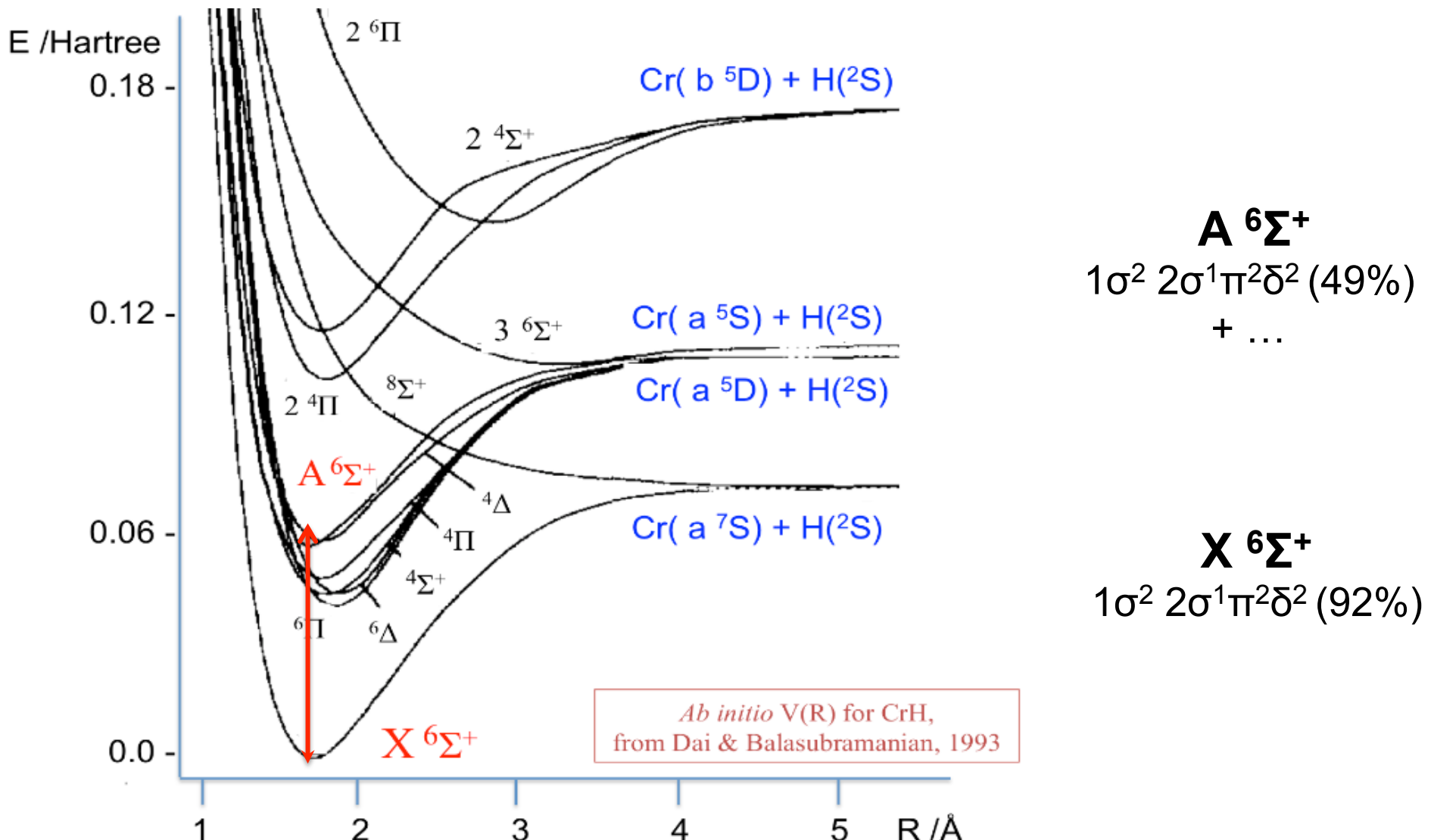
Source : King furnace (2200-2450 °C) , $\delta\sigma_D = 0.05 \text{ cm}^{-1}$

FTS : McMath telescope , NSO at Kitt Peak

We rely completely on this analysis, but we need improved wavenumber accuracy and resolution, to distinguish Zeeman splittings from Λ doubling

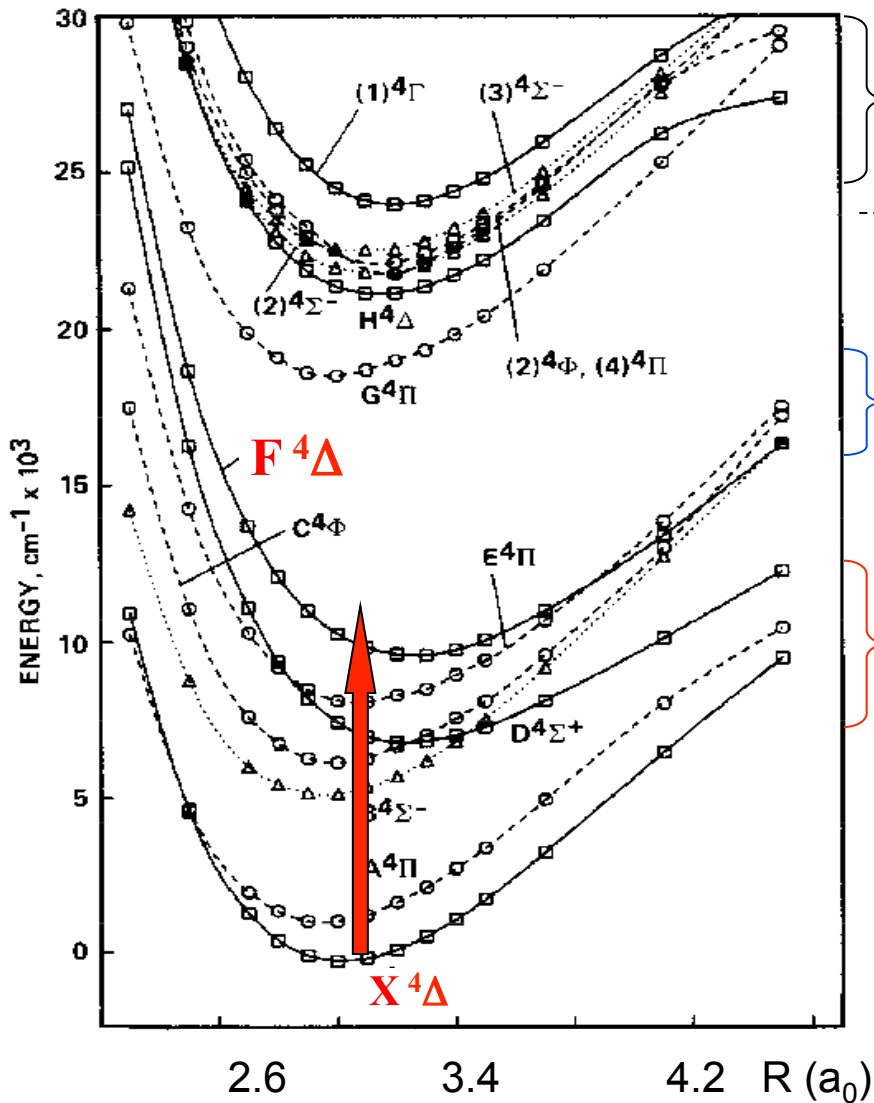
CrH electronic structure from ab initio calculations

Langhoff & Bauschlicher, *J Mol Spectrosc.* 141, 243-257 (1990)



FeH electronic structure from MRCI calculations

Langhoff & Bauschlicher, *J Mol Spectrosc.* 141, 243-257 (1990)



$^3H(3d^64s^2)$ $^4\Gamma$, $^4\Phi$, $^4\Delta$, (2x) $^4\Pi$ and (2x) $^4\Sigma^-$

$(3d^64s^1)$ 6D $4p^1$

$^6\Phi$, $^6\Delta$, b $^6\Pi$, and $^6\Sigma^-$ states (not shown)

$^5F(3d74s')$ B $^4\Sigma^-$, C $^4\Phi$, E $^4\Pi$, and F $^4\Delta$ states

$^5D(3d^64s^2)$ X $^4\Delta$, A $^4\Pi$, and D $^4\Sigma^+$ states

and

a $^6\Delta$, b $^6\Pi$, and c $^6\Sigma^+$ states (not shown)

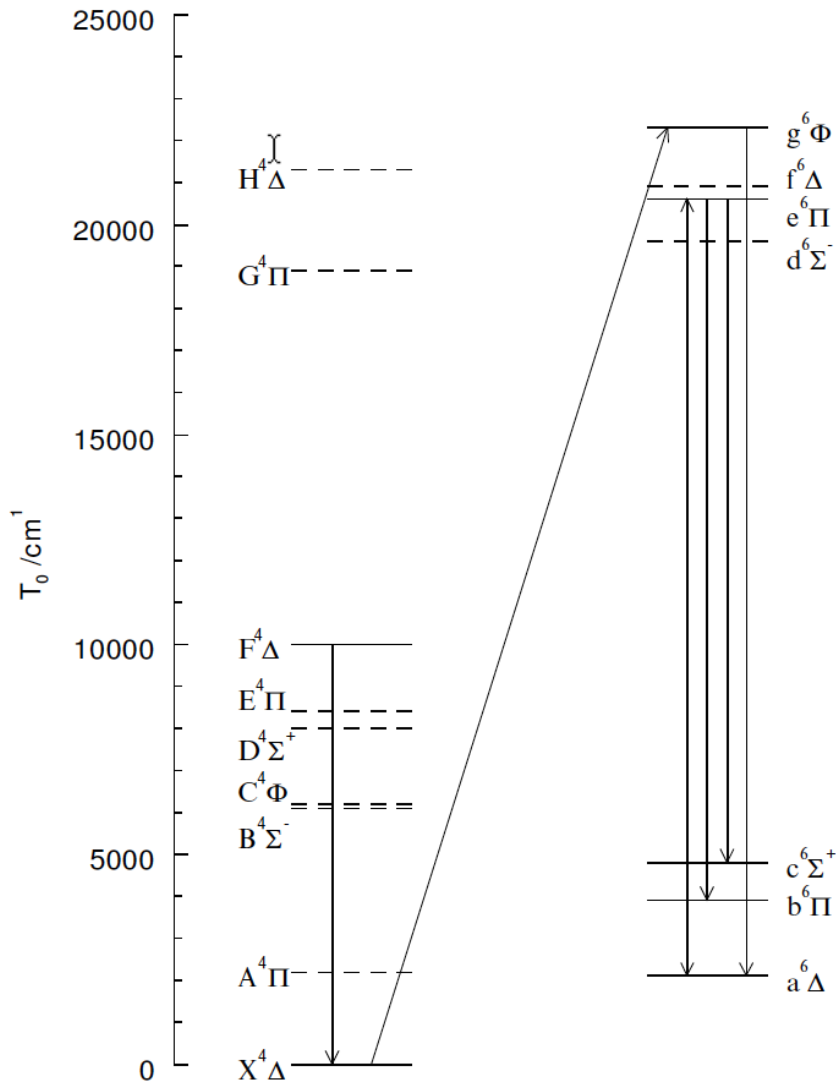
Fe I config.

Difficult spectrum !

But F $^4\Delta \leftarrow$ X $^4\Delta$ has been "sorted out"

FeH electronic energy diagram

D.F.Hullah et al, Mol. Phys., 97(1),93 (1999)

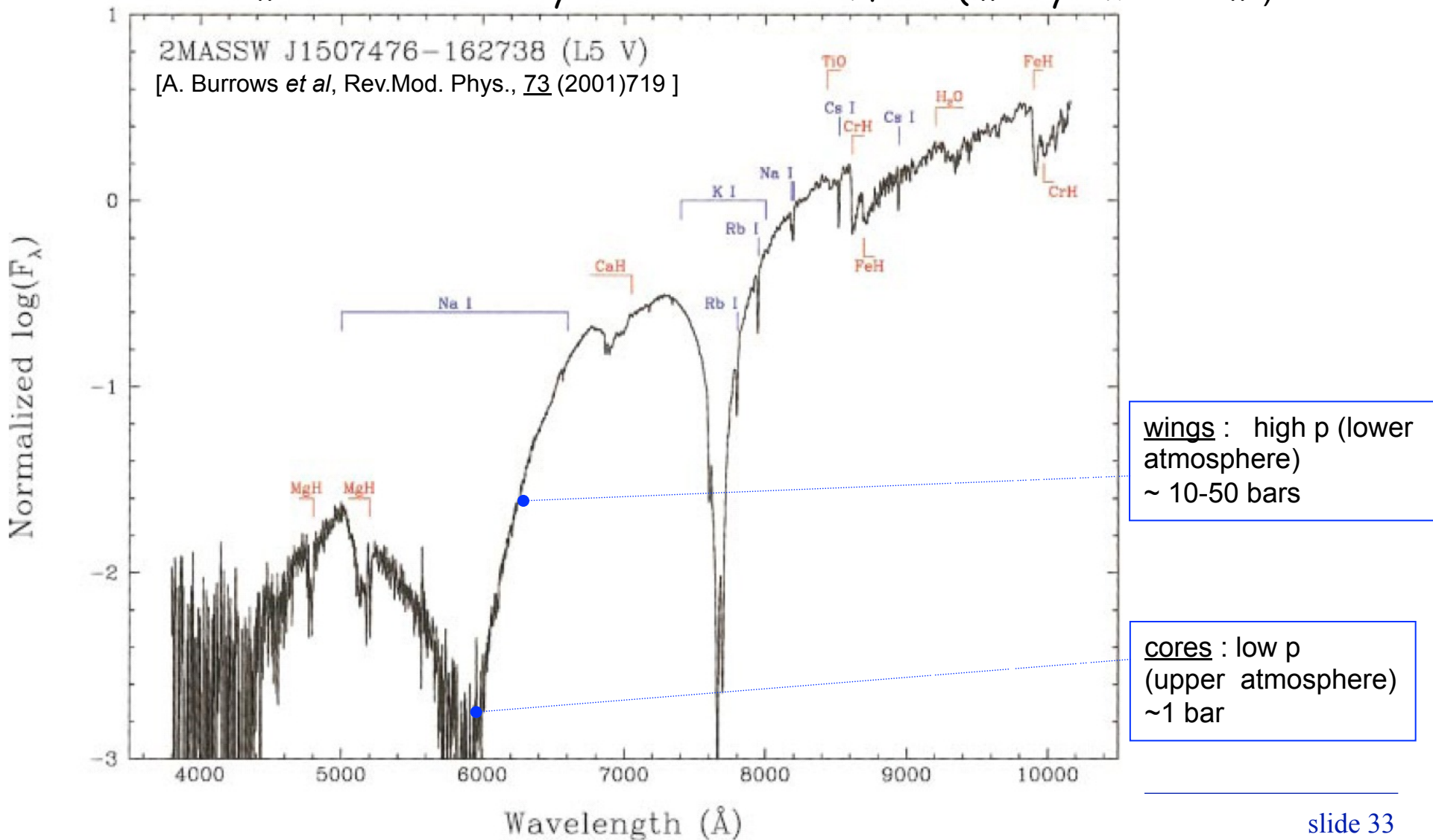


Diatomics with transitions in the optical & near IR Zeeman → PBE

	State	Mult. split. ⁽¹⁾ (cm ⁻¹)	Rot. split. ⁽¹⁾ (cm ⁻¹)	Mag. field ⁽²⁾ (G)	Hund's case	band	system	ν_{00} / cm ⁻¹
TiO	$X^3\Delta$	96	2.2	4.7×10^4	a	α	C-X	19334.03, 19343.66, 19341.68
	$A^3\Phi$	170	3.1	6.6×10^4	a	β	c-a	17840.6
	$B^3\Pi$	16	1.0	2.1×10^4	a-b ⁽³⁾	γ	A-X	14163.00, 14095.88, 14019.43
	$C^3\Delta$	90	2.0	4.3×10^4	a	γ'	B-X	16066.7, 16151.6, 16226.4
	$a^1\Delta$	-	3.2	6.9×10^4	a	δ	b-a	11272.82
	$b^1\Pi$	-	2.0	4.3×10^4	a	ϵ	E-X	11871, 11886, 11899
	$c^1\Phi$	-	4.2	9.0×10^4	a			
C ₂	$a^3\Pi$	15.3	3.3	7.1×10^4	a-b	Swan	d-a	19400
	$d^3\Pi$	16.9	3.5	7.5×10^4	a-b	Phillips	A-X	8268.16
CH	$X^2\Pi$	27.9	57.6	6.0×10^5	b	G	A-X	23200
	$A^2\Delta$	2.0	89.4	4.3×10^4	b			
OH	$X^2\Pi$	139	56.7	1.2×10^6	a-b	Meinel	X(Δv)	2243-18950
	$A^2\Sigma$	0.1	34.8	2100	b		A-X	32402.3
CN	$X^2\Sigma$	0.0036	3.8	77	b		B-X	25797.84 (near UV) (16570-22760)
	$A^2\Pi$	52.6	26.1	5.6×10^5	a-b			
	$B^2\Sigma$	0.0078	3.9	167	b			
MgH	$X^2\Sigma$	0.013	11.6	280	b		B-X	22081
	$A^2\Pi$	35.3	7.8	1.7×10^5	a-b			
	$B'^2\Sigma$... ⁽⁴⁾	12.4	...	b			
CaH	$X^2\Sigma$	0.022	8.6	470	b		B-X	15754.9
	$A^2\Pi$	79	12.9	2.8×10^5	a-b			
	$B^2\Sigma$	0.0069	8.6	148	b			
FeH	$^4\Delta$	191	19.5	4.1×10^5	a-b	Wing-Ford	$F^4\Delta$ - $X^4\Delta$	9929, 10026, 10039, 9984
	$^4\Delta$	214	17.5	3.7×10^5	a-b		$E^4\Pi$ - $A^4\Pi$, E-X :	5500-7500

Atomic lines are a bad choice ...

L-dwarfs : 1400-2000 K ;
atomic lines collisionally broadened and shifted (mainly alkali atoms)



Stellar Spectral Classification System ("normal" oxygen-rich stars)

from P.W. Bernath

Stars	O	> 25 000 K	
	B	11000 - 25000 K	
	A	7500 - 11000 K	
	F	6000 - 7500 K	
	G	5000 - 6000 K	
	K	3500 - 5000 K	
	M	2000 - 3500 K	
Brown Dwarfs	L	1400 - 2000 K	Sun: G2 V
Jupiter-like Planets	T	< 1400 K	(6000 K, dwarf)
	?		(Not to scale)

Luminosity (Size): I (Supergiant), II, III (Giant), IV, V (dwarf)